

**Programa de Monitoramento da Biodiversidade Aquática da
Área Ambiental I – Porção Capixaba do Rio Doce e Região
Marinha e Costeira Adjacente**

A6MCS5 – Material Suplementar 5

Anexo 6 Megafauna - Cetáceos

RT-39 RRDM/FEV 22

RA2021 PMBA/Fest-RRDM

Vitória,

Fevereiro de 2022

Alterações nas concentrações de compostos organoclorados em cetáceos

Figura 1: Locais de encalhe de *Sotalia guianensis* (Região 1-São Mateus, n= 69; Região 2-Rio Doce, n= 9; Região 3-Barra do Riacho, n= 19; Região 4-Metropolitana, n= 31; Região 5-Extremo Sul, n=29) coletados no Espírito Santo para análise de contaminantes, isótopos estáveis, idade e reprodução durante o Ano 1, Ano 2 e Ano 3 do PMBA/Fest-RRDM.

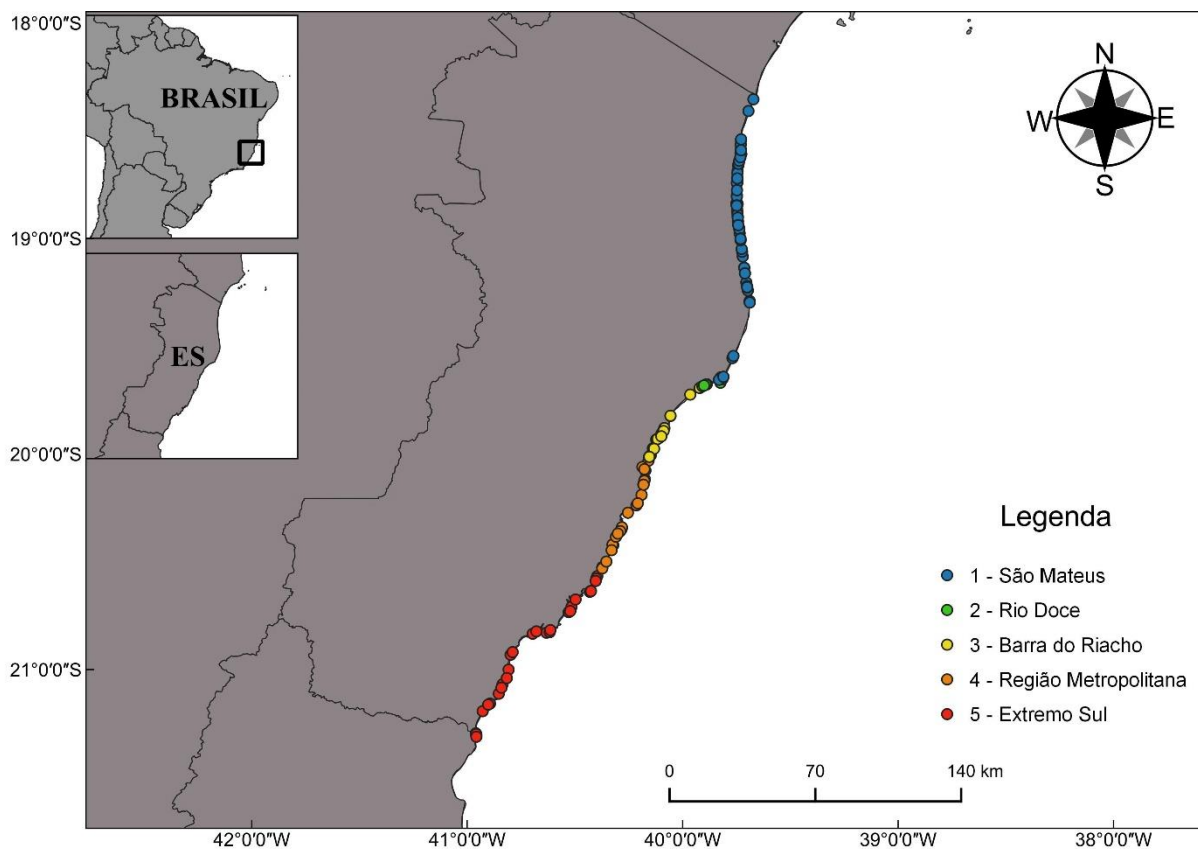


Figura 2: Locais de encalhe de *Pontoporia blainvillei* (Região 1-São Mateus, n=16; Região 2-Rio Doce, n= 1; Região 3-Barra do Riacho, n= 1) coletados no Espírito Santo para análise de contaminantes, isótopos estáveis, idade e reprodução durante o Ano 1, Ano 2 e Ano 3 do PMBA/Fest-RRDM.

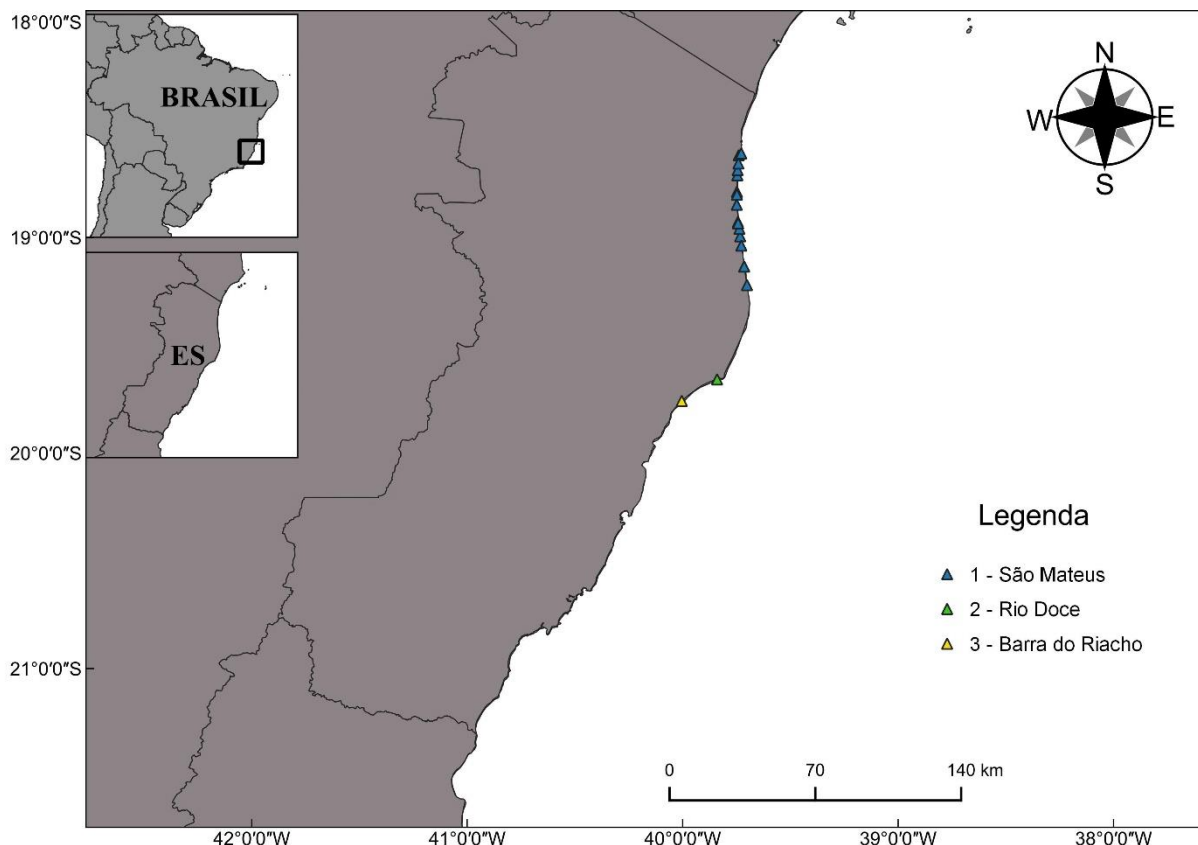


Tabela 1: Concentrações médias \pm desvio padrão, (Min-Max) de compostos organoclorados, expressas em $\mu\text{g.g}^{-1}$ lip. em tecido adiposo subcutâneo de botos-cinza (*Sotalia guianensis*), por regiões do estado do Espírito Santo durante o Ano 1, o Ano 2 e o Ano 3 de PMBA/Fest-RRDM (1= São Mateus; 2=Rio Doce; 3= Barra do Riacho; 4= Região Metropolitana; 5= Extremo Sul do ES).

Local	N	ΣPCB	ΣDDT	ΣHCH	HCB	Mirex
Região 1, ES	43	29,60 \pm 44,28 (0,28 - 220,21)	15,25 \pm 40,66 (0,08 - 236,03)	-	0,07 \pm 0,12 (<0,001 - 0,65)	1,87 \pm 2,79 (0,03 - 14,70)
Região 2, ES	7	19,01 \pm 6,68 (11,04 - 27,18)	3,68 \pm 1,82 (2,14 - 7,34)	0,06 \pm 0,06 (<0,001 - 0,08)	0,05 \pm 0,02 (<0,001 - 0,08)	0,76 \pm 0,22 (0,57 - 1,88)
Região 3, ES	17	38,34 \pm 34,14 (0,99 - 118,17)	6,56 \pm 8,41 (0,20 - 35,63)	-	0,08 \pm 0,09 (<0,001 - 0,4)	2,22 \pm 4,74 (0,06 - 19,96)
Região 4, ES	21	48,58 \pm 62,78 (6,40 - 258,69)	8,85 \pm 9,66 (2,42 - 37,63)	- (<0,001 - 0,12)	0,10 \pm 0,07 (<0,001 - 0,30)	1,49 \pm 1,80 (0,29 - 7,86)
Região 5, ES	23	44,69 \pm 69,64 (1,24 - 261,29)	7,31 \pm 11,38 (0,22 - 54,55)	-	0,06 \pm 0,03 (<0,001 - 0,14)	1,45 \pm 2,73 (0,4 - 13,62)

Figura 3: Perfil de contaminação por compostos organoclorados no tecido adiposo subcutâneo de botos-cinza, *Sotalia guianensis*, coletados nas diferentes regiões da costa do estado do Espírito Santo durante o Ano 1, Ano 2 e Ano 3 de PMBA/Fest-RRDM (1= São Mateus; 2= Rio Doce; 3= Barra do Riacho; 4= Região Metropolitana; 5= Extremo Sul do ES).

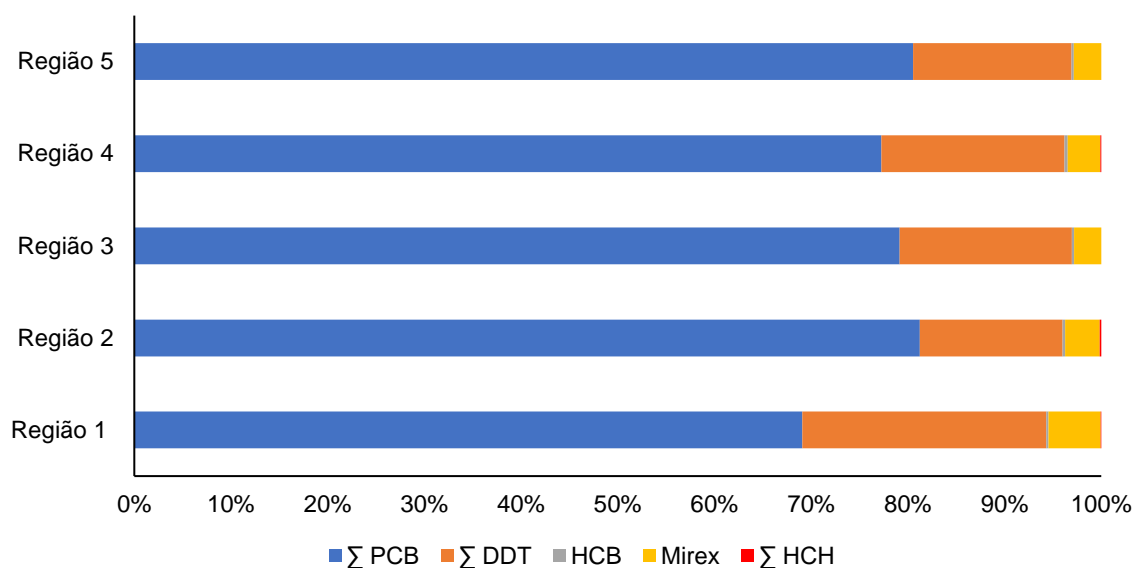


Figura 4: Perfil do grau de cloração no ΣPCB em tecido adiposo subcutâneo de botos-cinza, *Sotalia guianensis*, coletados nas diferentes regiões da costa do estado do Espírito Santo durante o Ano 1, Ano 2 e Ano 3 de PMBA/Fest-RRDM (1= São Mateus; 2= Rio Doce; 3= Barra do Riacho; 4= Região Metropolitana; 5= Extremo Sul do ES).

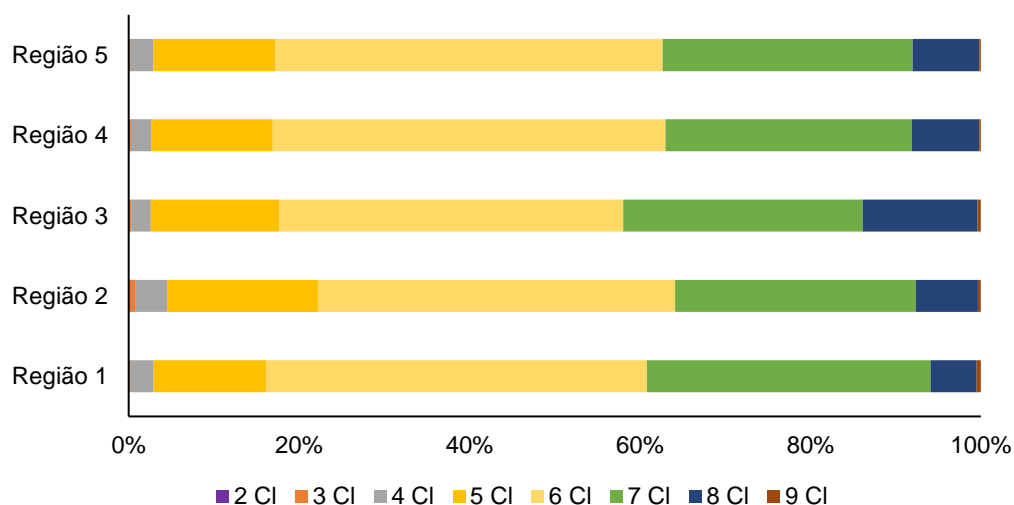


Figura 5: Perfil de isômeros no Σ DDT em tecido adiposo subcutâneo de botos-cinza, *Sotalia guianensis*, coletados nas diferentes regiões da costa do estado do Espírito Santo durante o Ano 1, Ano 2 e Ano 3 de PMBA/Fest-RRDM (1= São Mateus; 2=Rio Doce; 3= Barra do Riacho; 4= Região Metropolitana; 5= Extremo Sul do ES).

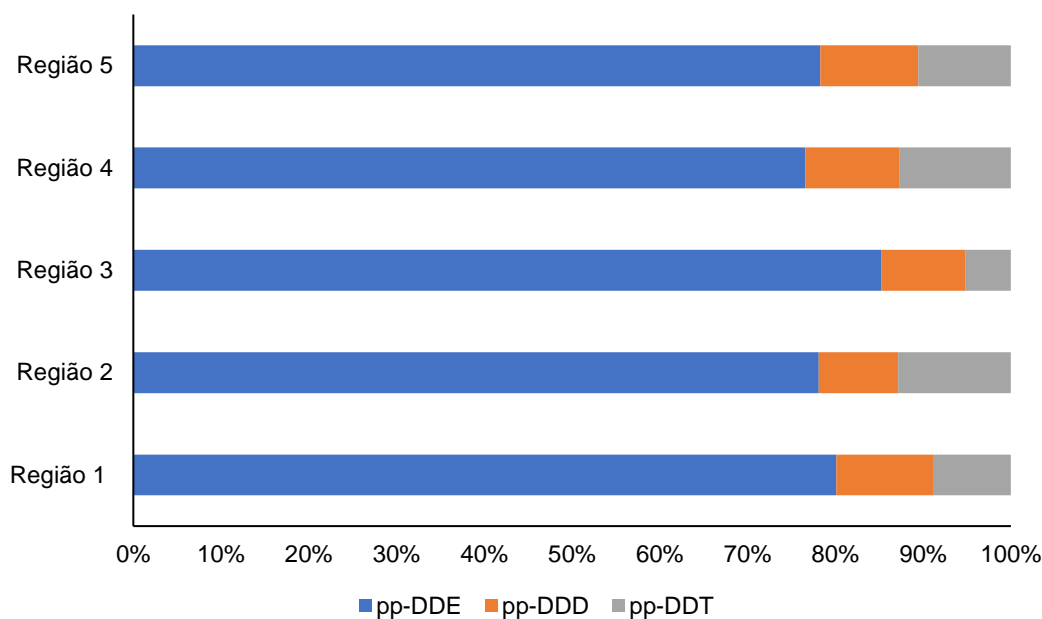


Figura 6: Concentração de PCBs no tecido adiposo subcutâneo de botos-cinza, *Sotalia guianensis*, coletados nas diferentes regiões da costa do estado do Espírito Santo durante o Ano 1, Ano 2 e Ano 3 de PMBA/Fest-RRDM (1= São Mateus; 2=Rio Doce; 3= Barra do Riacho; 4= Região Metropolitana; 5= Extremo Sul do ES).

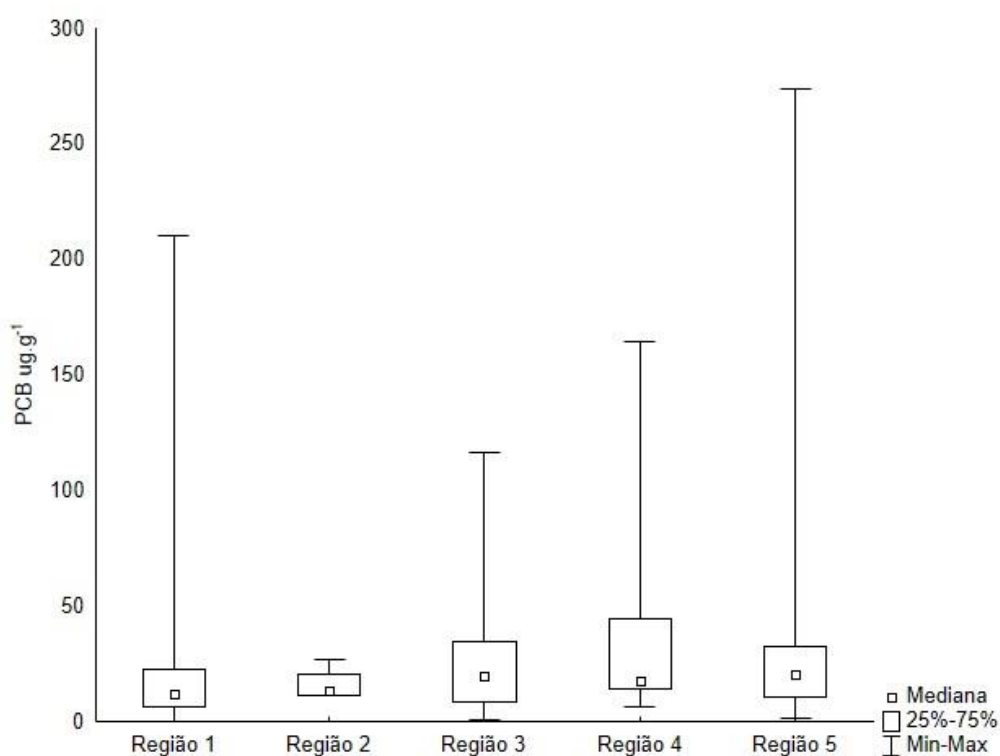


Figura 7: Concentração de DDTs no tecido adiposo subcutâneo de botos-cinza, *Sotalia guianensis*, coletados nas diferentes regiões da costa do estado do Espírito Santo durante Ano 1, Ano 2 e Ano 3 de PMBA/Fest-RRDM (1= São Mateus; 2=Rio Doce; 3= Barra do Riacho; 4= Região Metropolitana; 5= Extremo Sul do ES).

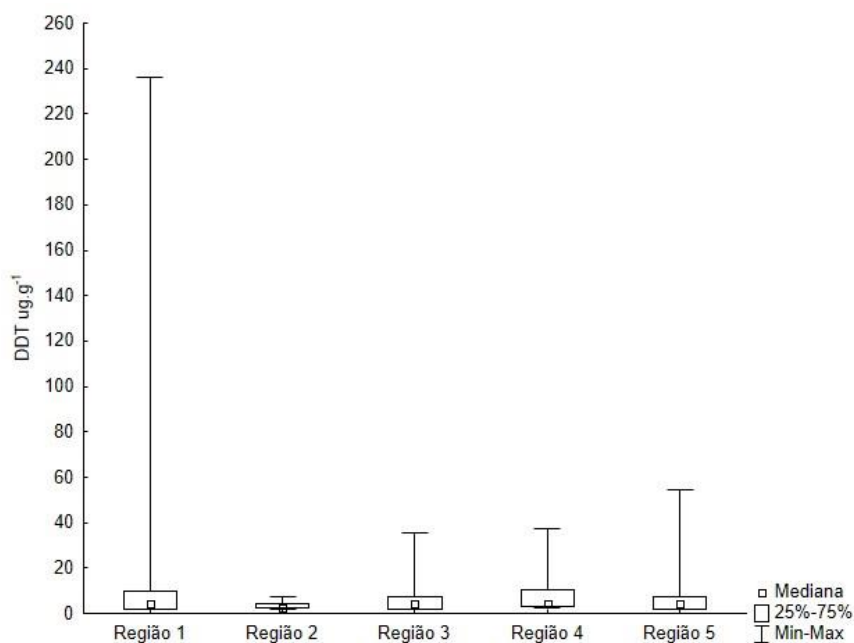


Figura 8: Concentração de Mirex no tecido adiposo subcutâneo de botos-cinza, *Sotalia guianensis*, coletados nas diferentes regiões da costa do estado do Espírito Santo durante o Ano 1, Ano 2 e Ano 3 de PMBA/Fest-RRDM (1= São Mateus; 2=Rio Doce; 3= Barra do Riacho; 4= Região Metropolitana; 5= Extremo Sul do ES).

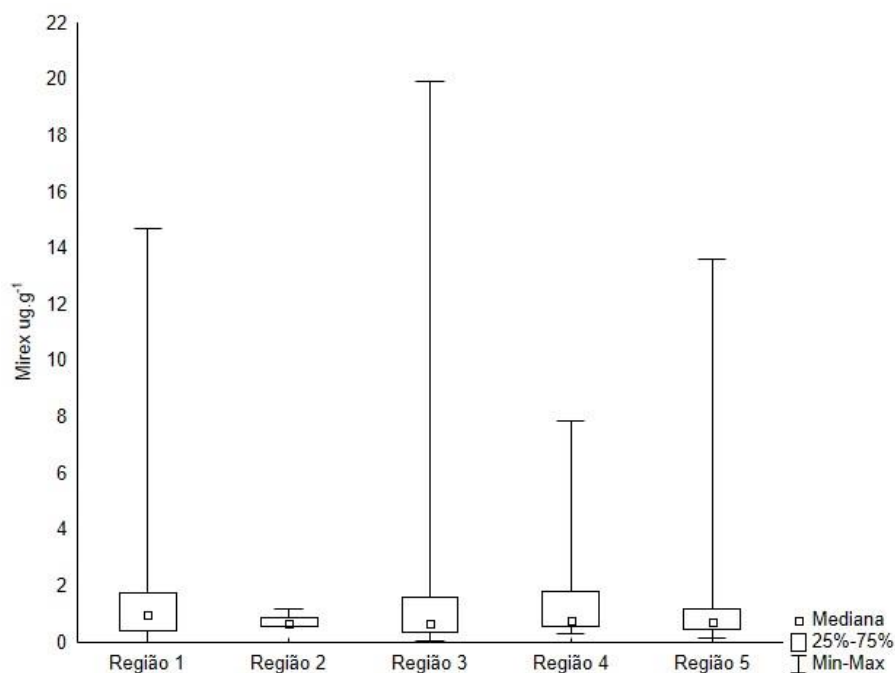


Figura 9: Concentração de HCB no tecido adiposo subcutâneo de botos-cinza, *Sotalia guianensis*, coletados nas diferentes regiões da costa do estado do Espírito Santo durante o Ano 1, Ano 2 e Ano 3 de PMBA/Fest-RRDM (1= São Mateus; 2=Rio Doce; 3= Barra do Riacho; 4= Região Metropolitana; 5= Extremo Sul do ES).

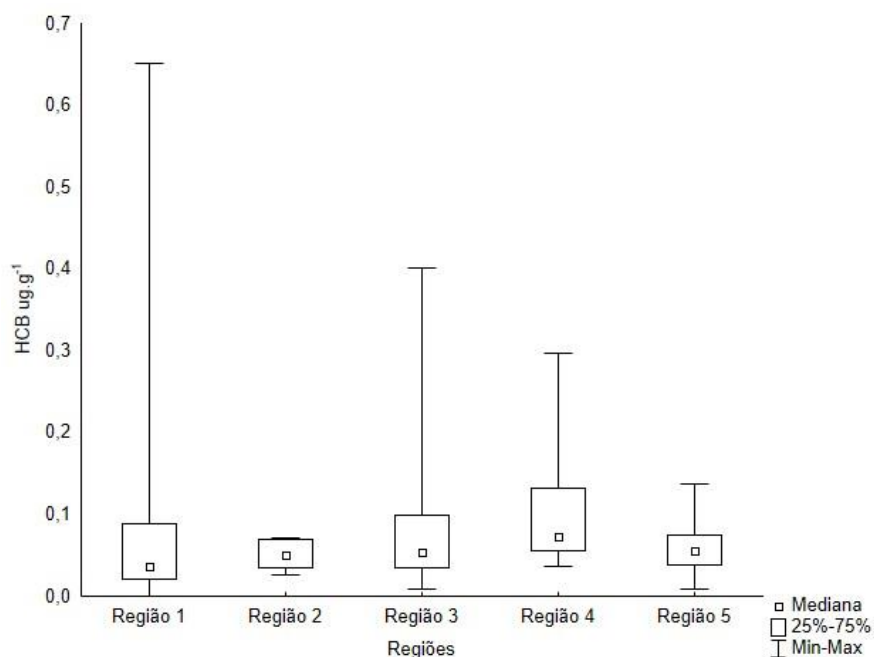


Tabela 2: Concentrações médias \pm desvio padrão, (Min-Max) de compostos organoclorados, expressas em $\mu\text{g.g}^{-1}$ lip. em tecido adiposo subcutâneo de toninhas, *Pontoporia blainvillei*, coletadas na costa do estado do Espírito Santo durante o Ano 1, Ano 2 e Ano 3 de PMBA/Fest-RRDM.

	ΣPCB	ΣDDT	ΣHCH	HCB	Mirex
N=8	$8,93 \pm 8,27$ (1,22-22,99)	$5,92 \pm 4,60$ (1,24-12,69)	<0,001	$0,05 \pm 0,04$ (0,01-0,15)	$1,17 \pm 1,49$ (0,17-4,44)

Figura 10: Perfil de contaminação por compostos organoclorados no tecido adiposo subcutâneo de toninhas, *Pontoporia blainvillei*, coletadas na costa do estado do Espírito Santo durante o Ano 1, Ano 2 e o Ano 3 de PMBA/Fest-RRDM.

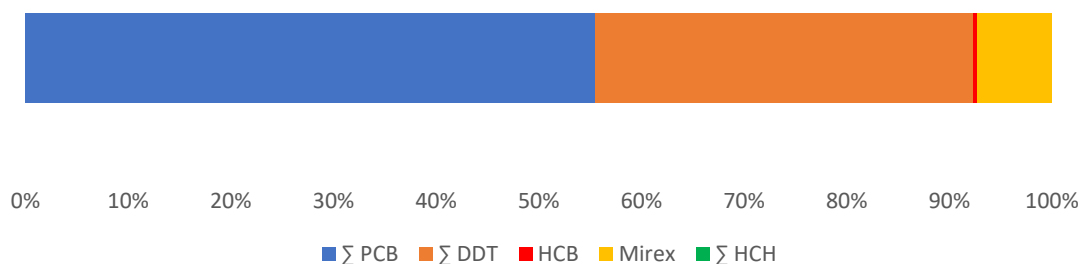


Figura 11: Perfil do grau de cloração no Σ PCB em tecido adiposo subcutâneo de toninhas, *Pontoporia blainvillei*, coletadas na costa do estado do Espírito Santo durante o Ano 1, Ano 2 e Ano 3 de PMBA/Fest-RRDM.

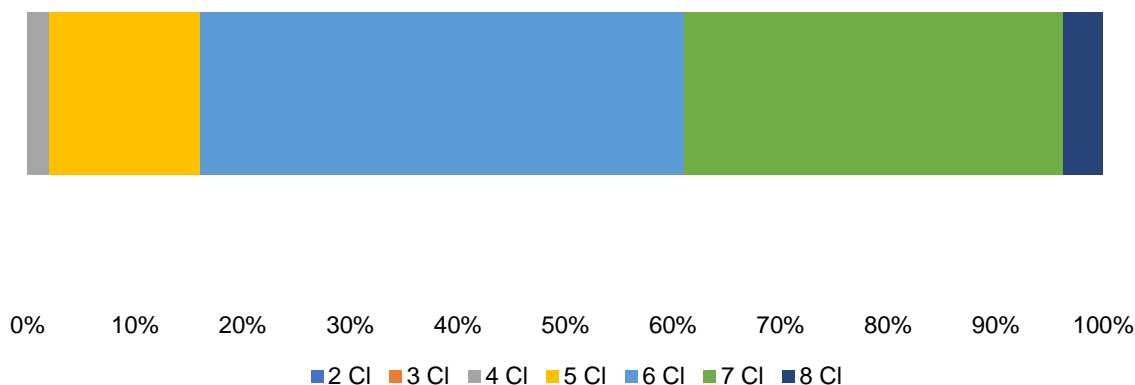


Figura 12: Perfil de compostos no Σ DDT em tecido adiposo subcutâneo de toninhas, *Pontoporia blainvillei*, coletadas na costa do estado do Espírito Santo durante o Ano 1, Ano 2 e Ano 3 de PMBA/Fest-RRDM.

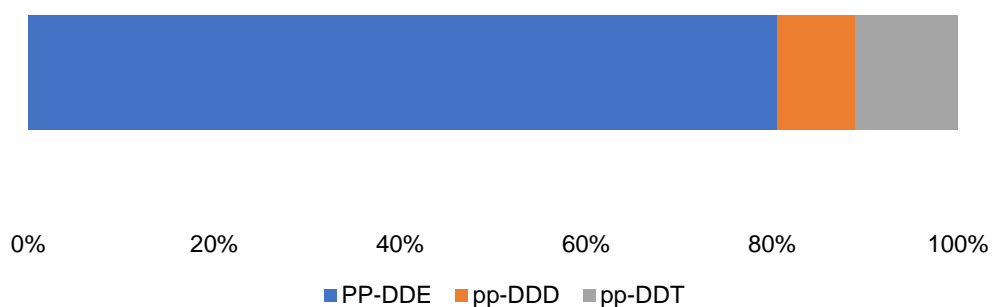


Tabela 3: Concentrações dos congêneres de PCBs em cada indivíduo coletado no estado do Espírito Santo durante o Ano 1, Ano 2 e Ano 3 de PMBA/Fest-RRDM, expressas em $\mu\text{g.g}^{-1}$ lip.

	Nome estação amostral	PCB 8	PCB 31	PCB 28	PCB 52	PCB 49	PCB 44	PCB 74	PCB 70	PCB 101	PCB 99
	<i>Steno bredanensis</i>										
	EAE_S19	< 0,001	0,11	0,23	2,02	0,54	0,12	0,21	0,1	14,37	6,64
	EAE_S4	< 0,001	<0,008	< 0,005	0,06	< 0,002	< 0,002	< 0,005	< 0,002	0,23	0,18
	<i>Pontoporia blainvillei</i>										
Região 1	EAE_N51	< 0,001	<0,008	< 0,005	0,02	< 0,002	< 0,002	< 0,005	< 0,002	0,05	0,04
	EAE_N52	< 0,001	<0,008	< 0,005	0,03	< 0,002	< 0,002	0,02	< 0,002	0,08	0,06
	EAE_N53	< 0,001	<0,008	< 0,005	0,11	< 0,002	< 0,002	0,07	< 0,002	0,52	0,4
	EAE_N62	< 0,001	<0,008	< 0,005	0,04	< 0,002	< 0,002	0,03	< 0,002	0,13	0,09
	EAE_N64	< 0,001	<0,008	< 0,005	0,14	0,05	< 0,002	0,09	< 0,002	0,53	0,4
	EAE_N67	< 0,001	<0,008	< 0,005	0,03	< 0,002	< 0,002	0,02	< 0,002	0,09	0,07
	EAE_N79	< 0,001	<0,008	< 0,005	0,11	< 0,002	< 0,002	0,07	< 0,002	0,45	0,51
	EAE_N98	< 0,001	<0,008	< 0,005	< 0,002	< 0,002	< 0,002	< 0,005	< 0,002	0,06	0,05
Região 2	EAE_S44	< 0,001	<0,008	< 0,005	0,43	< 0,002	< 0,002	0,22	< 0,002	1,26	0,89
	<i>Sotalia guianensis</i>										
Região 1	EAE_N5	< 0,001	<0,008	< 0,005	0,77	5,31	1,05	0,66	0,71	2,35	2,91
	EAE_N13	1,03	<0,008	1,03	3,32	1,36	0,91	1,45	< 0,002	8,13	5,51
	EAE_N14	< 0,001	<0,008	< 0,005	< 0,002	< 0,002	< 0,002	0,04	< 0,002	0,08	0,12
	EAE_N16	0,03	<0,008	0,03	0,08	0,03	0,02	0,05	< 0,002	0,28	0,22
	EAE_N21	0,1	0,05	0,1	0,13	< 0,002	0,11	0,15	0,14	0,28	0,27
	EAE_N22	< 0,001	<0,008	< 0,005	0,1	0,1	0,08	0,11	< 0,002	0,26	0,21
	EAE_N27	< 0,001	<0,008	< 0,005	0,08	0,09	< 0,002	< 0,005	< 0,002	0,13	0,13
	EAE_N28	0,07	<0,008	0,07	0,11	0,03	0,02	0,1	< 0,002	0,3	0,39
	EAE_N31	< 0,001	<0,008	< 0,005	0,21	< 0,002	< 0,002	0,08	< 0,002	0,35	0,6
	EAE_N33	< 0,001	<0,008	< 0,005	< 0,002	< 0,002	< 0,002	< 0,005	< 0,002	0,18	0,31
	EAE_N34	< 0,001	<0,008	< 0,005	< 0,002	< 0,002	< 0,002	< 0,005	< 0,002	0,26	0,2

	Nome estação amostral	PCB 8	PCB 31	PCB 28	PCB 52	PCB 49	PCB 44	PCB 74	PCB 70	PCB 101	PCB 99
	EAE_N36	< 0,001	<0,008	< 0,005	< 0,002	< 0,002	< 0,002	< 0,005	< 0,002	0,88	0,66
	EAE_N37	< 0,001	<0,008	< 0,005	< 0,002	< 0,002	< 0,002	< 0,005	< 0,002	0,06	0,09
	EAE_N39	< 0,001	<0,008	< 0,005	< 0,002	< 0,002	< 0,002	< 0,005	< 0,002	< 0,001	< 0,002
	EAE_N40	< 0,001	<0,008	< 0,005	0,08	< 0,002	< 0,002	0,04	< 0,002	0,23	0,44
	EAE_N41	< 0,001	<0,008	< 0,005	2,44	< 0,002	< 0,002	0,64	< 0,002	2,58	7,23
	EAE_N42	< 0,001	<0,008	< 0,005	0,88	< 0,002	< 0,002	0,27	< 0,002	1,2	1,54
	EAE_N48	< 0,001	<0,008	< 0,005	0,06	0,04	< 0,002	0,02	< 0,002	0,2	0,16
	EAE_N49	< 0,001	<0,008	< 0,005	0,13	< 0,002	0,06	0,03	0,11	0,22	0,11
	EAE_N50	< 0,001	<0,008	< 0,005	< 0,002	< 0,002	< 0,002	< 0,005	< 0,002	0,03	0,03
	EAE_PPN2	< 0,001	<0,008	< 0,005	0,69	0,12	< 0,002	0,19	< 0,002	1,15	1,09
	EAE_PPN8	< 0,001	<0,008	< 0,005	< 0,002	< 0,002	< 0,002	< 0,005	< 0,002	0,03	0,02
	EAE_PPN3	< 0,001	<0,008	< 0,005	0,12	< 0,002	< 0,002	0,11	< 0,002	0,22	0,36
	EAE_PPN4	< 0,001	<0,008	< 0,005	< 0,002	< 0,002	< 0,002	< 0,005	< 0,002	0,13	0,24
	EAE_PPN5	< 0,001	<0,008	< 0,005	< 0,002	< 0,002	< 0,002	0,05	< 0,002	0,08	0,1
	EAE_PPN6	< 0,001	<0,008	< 0,005	0,16	< 0,002	< 0,002	0,05	< 0,002	0,31	0,27
	EAE_N56	< 0,001	<0,008	< 0,005	0,8	< 0,002	< 0,002	< 0,005	< 0,002	2,95	2,37
	EAE_N59	< 0,001	<0,008	< 0,005	0,17	< 0,002	< 0,002	0,08	< 0,002	0,36	0,53
	EAE_N60	< 0,001	<0,008	< 0,005	1,46	< 0,002	0,11	0,38	< 0,002	2,71	3,87
	EAE_N63	0,08	<0,008	0,08	0,31	< 0,002	< 0,002	0,11	< 0,002	0,44	0,72
	EAE_N65	0,12	<0,008	0,12	1,04	0,35	0,21	0,35	< 0,002	4,18	3,33
	EAE_N66	0,05	<0,008	0,05	0,31	0,07	0,04	0,12	< 0,002	1,12	0,91
	EAE_N68	< 0,001	<0,008	< 0,005	0,12	< 0,002	< 0,002	0,08	< 0,002	0,24	0,23
	EAE_N81	< 0,001	<0,008	< 0,005	0,06	< 0,002	< 0,002	0,03	< 0,002	0,17	0,12
	EAE_N82	0,03	<0,008	0,03	0,09	0,04	0,03	0,04	< 0,002	0,3	0,24
	EAE_N85	< 0,001	<0,008	< 0,005	0,1	< 0,002	< 0,002	0,07	< 0,002	0,29	0,34
	EAE_N88	< 0,001	<0,008	< 0,005	0,43	< 0,002	< 0,002	0,28	< 0,002	1,23	1,06
	EAE_S62	0,06	<0,008	0,06	0,87	< 0,002	0,04	0,23	< 0,002	0,96	1,34

	Nome estação amostral	PCB 8	PCB 31	PCB 28	PCB 52	PCB 49	PCB 44	PCB 74	PCB 70	PCB 101	PCB 99
	EAE_N88	< 0,001	< 0,008	0,14	0,33	< 0,002	< 0,002	< 0,005	< 0,002	0,96	0,82
	EAE_N90	< 0,001	< 0,008	< 0,005	< 0,002	< 0,002	< 0,002	< 0,005	< 0,002	0,07	0,06
	EAE_N96	< 0,001	< 0,008	0,03	0,11	< 0,002	< 0,002	0,05	< 0,002	0,25	0,25
	EAE_N98	< 0,001	< 0,008	< 0,005	0,17	< 0,002	< 0,002	< 0,005	< 0,002	0,51	0,65
	EAE_N101	< 0,001	< 0,008	0,02	0,05	< 0,002	< 0,002	0,03	< 0,002	0,16	0,15
	EAE_N109	< 0,001	< 0,008	0,09	0,36	0,06	0,04	0,16	< 0,002	0,60	0,54
	EAE_N111	< 0,001	< 0,008	< 0,005	< 0,002	< 0,002	< 0,002	< 0,005	< 0,002	0,22	0,16
Região 2	EAE_N4	0,04	0,03	< 0,005	0,28	< 0,002	0,05	0,03	0,05	0,52	0,59
	EAE_N9	< 0,001	< 0,008	0,2	0,53	0,19	0,11	0,07	0,11	1,4	1,05
	EAE_N19	< 0,001	< 0,008	0,11	0,56	0,16	0,09	0,16	0,02	1,16	0,86
	EAE_S22	< 0,001	0,14	0,15	0,35	0,14	0,08	0,12	< 0,002	0,83	0,57
	EAE_S30	< 0,001	< 0,008	0,11	0,18	0,06	0,04	0,09	< 0,002	0,5	0,47
	EAE_S65	< 0,001	< 0,008	0,06	0,24	< 0,002	0,03	0,1	< 0,002	0,47	0,49
	EAE_S91	< 0,001	< 0,008	< 0,005	0,41	< 0,002	0,05	0,16	< 0,002	0,88	0,83
	EAE_S92	< 0,001	< 0,008	0,04	0,12	< 0,002	< 0,002	0,07	< 0,002	0,39	0,33
Região 3	EAE_S6	< 0,001	0,09	0,12	0,18	0,11	< 0,002	0,08	< 0,002	0,58	0,39
	EAE_S18	< 0,001	< 0,008	< 0,005	0,24	< 0,002	< 0,002	< 0,005	< 0,002	0,63	0,41
	EAE_S27	< 0,001	< 0,008	< 0,005	0,17	< 0,002	< 0,002	0,06	< 0,002	0,34	0,34
	EAE_S32	< 0,001	< 0,008	< 0,005	0,45	0,09	0,05	0,15	< 0,002	1,06	1,02
	EAE_S35	< 0,001	< 0,008	0,11	0,31	0,1	0,05	0,11	< 0,002	0,94	0,77
	EAE_S41	< 0,001	< 0,008	< 0,005	0,46	< 0,002	0	0,2	< 0,002	1,03	1,3
	EAE_S50	< 0,001	< 0,008	0,08	0,36	< 0,002	0,07	0,17	< 0,002	0,71	0,77
	EAE_S59	< 0,001	< 0,008	< 0,005	0,61	< 0,002	0,04	0,19	< 0,002	0,99	1,26
	EAE_S61	< 0,001	< 0,008	0,63	1,88	< 0,002	0,44	0,99	< 0,002	5,25	4,61
	EAE_S47	< 0,001	< 0,008	< 0,005	< 0,002	< 0,002	< 0,002	< 0,005	< 0,002	0,56	0,74
	EAE_S48	< 0,001	< 0,008	< 0,005	0,69	< 0,002	< 0,002	0,20	< 0,002	1,14	2,11

	Nome estação amostral	PCB 8	PCB 31	PCB 28	PCB 52	PCB 49	PCB 44	PCB 74	PCB 70	PCB 101	PCB 99
	EAE_S49	< 0,001	< 0,008	< 0,005	0,49	< 0,002	< 0,002	0,15	< 0,002	0,72	1,07
	EAE_S97	< 0,001	< 0,008	0,15	0,34	< 0,002	0,09	0,21	< 0,002	0,93	0,79
	EAE_S100	< 0,001	< 0,008	< 0,005	0,37	< 0,002	< 0,002	0,18	< 0,002	0,79	0,74
	EAE_S102	< 0,001	< 0,008	< 0,005	0,21	< 0,002	< 0,002	0,09	< 0,002	0,52	0,52
	EAE_S104	< 0,001	< 0,008	< 0,005	< 0,002	< 0,002	< 0,002	< 0,005	< 0,002	0,08	0,07
	EAE_S105	< 0,001	< 0,008	0,14	0,52	< 0,002	< 0,002	0,23	< 0,002	1,14	1,21
	EAE_S117	< 0,001	0,00	< 0,005	< 0,002	< 0,002	< 0,002	< 0,005	< 0,002	< 0,001	< 0,002
Região 4	EAE_S5	< 0,001	0,2	0,29	2,58	0,37	0,23	0,84	< 0,002	5,89	6,3
	EAE_S8	< 0,001	<0,008	< 0,005	0,57	0,09	< 0,002	0,23	< 0,002	1,15	1,74
	EAE_S11	< 0,001	<0,008	0,2	0,55	0,18	0,12	0,22	0,04	1,34	< 0,002
	EAE_S12	< 0,001	<0,008	0,06	0,33	0,11	0,08	0,12	0,03	0,78	0,68
	EAE_S14	< 0,001	<0,008	< 0,005	< 0,002	< 0,002	< 0,002	0,01	0,01	0,02	< 0,002
	EAE_S15	< 0,001	<0,008	< 0,005	0,72	< 0,002	< 0,002	0,34	< 0,002	1,63	1,68
	EAE_S23	< 0,001	0,09	< 0,005	0,41	< 0,002	0,07	0,15	< 0,002	0,81	0,72
	EAE_S24	< 0,001	<0,008	0,06	0,18	< 0,002	< 0,002	0,11	< 0,002	0,4	0,31
	EAE_S28	< 0,001	<0,008	0,16	0,42	0,2	0,08	0,13	< 0,002	0,82	0,6
	EAE_S37	< 0,001	<0,008	< 0,005	0,11	< 0,002	< 0,002	< 0,005	< 0,002	0,2	0,31
	ESE_S42	< 0,001	<0,008	< 0,005	4,53	1,05	0,51	1,54	< 0,002	8,14	7,25
	EAE_S45	< 0,001	<0,008	0,23	0,73	0,33	0,18	0,27	< 0,002	2,09	1,58
	EAE_S53	< 0,001	<0,008	0,16	0,82	0,24	0,15	0,34	< 0,002	1,77	1,39
	EAE_S57	< 0,001	<0,008	0,15	0,39	0,16	0,08	0,15	< 0,002	1,11	0,87
	EAE_S60	< 0,001	<0,008	0,06	0,26	< 0,002	0,05	0,12	< 0,002	0,69	0,65
	EAE_S67	< 0,001	<0,008	< 0,005	0,2	0,09	0,07	0,1	< 0,002	0,61	0,5
	EAE_S84	< 0,001	<0,008	0,09	0,36	0,12	0,06	0,1	< 0,002	0,73	0,71
	EAE_S85	< 0,001	<0,008	0,15	0,34	< 0,002	0,06	0,12	< 0,002	0,8	0,72
	EAE_S89	< 0,001	<0,008	< 0,005	0,31	< 0,002	0,03	0,09	< 0,002	0,66	0,7

	Nome estação amostral	PCB 8	PCB 31	PCB 28	PCB 52	PCB 49	PCB 44	PCB 74	PCB 70	PCB 101	PCB 99
	EAE_S101	< 0,001	< 0,008	0,02	0,71	< 0,002	< 0,002	0,18	< 0,002	0,85	3,29
	EAE_S103	< 0,001	< 0,008	0,06	0,40	< 0,002	< 0,002	0,14	< 0,002	0,78	0,74
	EAE_S106	< 0,001	< 0,008	0,08	0,62	0,09	0,05	0,20	< 0,002	2,13	2,57
	EAE_S109	< 0,001	< 0,008	0,08	0,28	0,10	< 0,002	0,09	< 0,002	0,76	0,64
Região 5	EAE_S7	< 0,001	0,21	0,27	0,68	0,3	0,15	0,26	< 0,002	1,7	1,24
	EAE_S9	0,04	0,05	0,07	0,11	0,06	0,04	0,07	< 0,002	0,3	0,23
	EAE_S13	< 0,001	< 0,008	< 0,005	< 0,002	< 0,002	< 0,002	0,03	0,05	0,08	< 0,002
	EAE_S17	< 0,001	< 0,008	< 0,005	0,92	< 0,002	< 0,002	0,24	< 0,002	1,54	1,66
	EAE_S1	< 0,001	< 0,008	< 0,005	5,24	0,55	0,44	1,53	< 0,002	8,57	10,47
	EAE_S25	< 0,001	< 0,008	< 0,005	0,95	0,56	< 0,002	0,3	< 0,002	1,74	1,86
	EAE_S29	< 0,001	< 0,008	< 0,005	< 0,002	< 0,002	< 0,002	< 0,005	< 0,002	0,09	0,07
	EAE_S43	< 0,001	< 0,008	0,27	1,15	0,15	0,12	0,48	< 0,002	1,57	1,84
	EAE_S54	< 0,001	< 0,008	0,06	0,59	0,09	0,07	0,21	< 0,002	1,33	1,31
	EAE_S58	< 0,001	< 0,008	< 0,005	< 0,002	< 0,002	< 0,002	< 0,005	< 0,002	0,28	0,25
	EAE_S63	< 0,001	< 0,008	0,11	0,27	0,12	0,08	0,1	< 0,002	0,78	0,6
	EAE_S64	< 0,001	< 0,008	0,15	0,75	0,12	0,08	0,23	< 0,002	0,89	0,89
	EAE_S76	< 0,001	< 0,008	< 0,005	0,78	< 0,002	< 0,002	0,25	< 0,002	1,1	2,49
	EAE_S78	< 0,001	< 0,008	< 0,005	0,92	0,05	0,06	0,26	< 0,002	1,62	1,89
	EAE_S80	< 0,001	< 0,008	< 0,005	0,24	< 0,002	< 0,002	0,1	< 0,002	0,83	0,75
	EAE_S86	< 0,001	< 0,008	< 0,005	0,54	0,06	0,06	0,14	< 0,002	1,2	1,13
	EAE_S87	< 0,001	< 0,008	< 0,005	0,26	< 0,002	< 0,002	0,1	< 0,002	0,73	0,77
	EAE_S93	< 0,001	< 0,008	< 0,005	0,03	< 0,002	< 0,002	< 0,005	< 0,002	0,08	0,07
	EAE_S98	< 0,001	< 0,008	0,03	0,11	0,05	0,03	0,05	< 0,002	0,39	0,34
	EAE_S107	< 0,001	< 0,008	0,06	1,21	< 0,002	< 0,002	0,30	< 0,002	1,02	5,06
	EAE_S110	< 0,001	< 0,008	< 0,005	0,67	< 0,002	< 0,002	0,19	< 0,002	1,22	1,40
	EAE_S111	< 0,001	< 0,008	< 0,005	< 0,002	< 0,002	< 0,002	< 0,005	< 0,002	0,06	0,05

	Nome estação amostral	PCB 8	PCB 31	PCB 28	PCB 52	PCB 49	PCB 44	PCB 74	PCB 70	PCB 101	PCB 99
	EAE_S120	< 0,001	< 0,008	< 0,005	0,34	< 0,002	< 0,002	< 0,005	< 0,002	1,01	0,89
	Nome estação amostral	PCB 97	PCB 151	PCB 118	PCB 153	PCB 105	PCB 141	PCB 138	PCB 158	PCB 187	PCB 183
	<i>Steno bredanensis</i>										
	EAE_S19	0,11	5,27	18,52	43,12	0,7	0,23	32,92	17,53	16,68	9,03
	EAE_S4	< 0,001	0,13	0,24	1,63	0,16	< 0,001	1,14	0,07	0,79	0,32
	<i>Pontoporia blainvillei</i>										
Região 1	EAE_N51	< 0,001	0,03	0,05	0,35	0,03	0,03	0,25	0,02	0,15	0,06
	EAE_N52	0,02	0,04	0,08	0,51	0,03	0,03	0,37	0,03	0,2	0,08
	EAE_N53	0,04	< 0,002	0,57	3,33	0,13	< 0,001	2,4	< 0,001	1,07	0,42
	EAE_N62	0,02	0,05	0,11	0,52	0,05	0,04	0,52	0,04	0,21	0,08
	EAE_N64	0,05	0,1	0,64	3	0,12	< 0,001	2,34	0,13	0,95	0,38
	EAE_N67	0,02	0,04	0,1	0,53	0,04	0,03	0,47	0,04	0,19	0,08
	EAE_N79	0,08	0,29	0,72	3,56	0,21	0,09	2,91	0,3	1,56	0,7
Região 2	EAE_N98	0,02	0,03	0,05	0,27	< 0,003	0,03	0,19	0,02	0,12	0,05
	EAE_S44	0,17	0,28	1,19	5,15	< 0,003	0,24	4,3	< 0,001	1,91	0,78
	<i>Sotalia guianensis</i>										
Região 1	EAE_N5	0,2	1,92	3,97	24,84	0,96	0,31	21,92	1,29	7,79	3,17
	EAE_N13	0,94	3,17	8,23	30,86	2,5	1,81	29,11	< 0,001	10,3	4,55
	EAE_N14	0,04	0,05	0,16	0,84	0,08	0,04	0,77	0,08	0,24	0,14
	EAE_N16	0,03	0,16	0,34	1,74	0,11	0,06	1,9	0,1	0,64	0,24
	EAE_N21	0,14	0,19	0,38	1,38	0,25	0,17	1,31	0,22	0,56	0,32
	EAE_N22	0,11	0,16	0,3	0,93	0,2	0,13	0,92	0,17	0,41	0,23
	EAE_N27	< 0,001	< 0,002	0,18	0,29	0,16	< 0,001	0,28	< 0,001	0,19	0,15
	EAE_N28	0,03	0,09	0,61	3,5	0,17	0,04	2,83	0,18	0,94	0,49
	EAE_N31	< 0,001	0,35	0,69	3,96	0,14	< 0,001	2,91	0,2	1,31	0,66
	EAE_N33	< 0,001	< 0,002	0,37	2,54	< 0,003	< 0,001	1,73	< 0,001	0,69	0,3

	Nome estação amostral	PCB 8	PCB 31	PCB 28	PCB 52	PCB 49	PCB 44	PCB 74	PCB 70	PCB 101	PCB 99
	EAE_N34	< 0,001	0,11	0,3	1,14	< 0,003	< 0,001	0,83	0,05	0,37	0,13
	EAE_N36	0,09	0,45	0,91	4,64	0,19	0,22	3,24	0,23	1,71	0,83
	EAE_N37	< 0,001	< 0,002	0,14	0,81	< 0,003	< 0,001	0,48	< 0,001	0,2	0,1
	EAE_N39	< 0,001	< 0,002	< 0,002	0,1	< 0,003	< 0,001	0,06	< 0,001	< 0,001	0,02
	EAE_N40	< 0,001	0,19	0,44	3,23	0,11	< 0,001	2,34	0,15	1,02	0,44
	EAE_N41	< 0,001	5,35	< 0,002	55,72	1	0,11	41,63	2,71	20,88	10,87
	EAE_N42	< 0,001	0,97	< 0,002	7,86	0,64	< 0,001	7,89	0,57	2,58	1,06
	EAE_N48	0,02	0,09	0,27	1,19	0,08	0,05	0,9	0,07	< 0,001	0,15
	EAE_N49	0,09	0,04	0,32	0,56	0,14	< 0,001	0,46	0,04	< 0,001	0,09
	EAE_N50	< 0,001	< 0,002	0,03	0,29	< 0,003	< 0,001	0,17	0,01	< 0,001	< 0,005
	EAE_PPN2	< 0,001	0,45	< 0,002	4,52	0,25	< 0,002	3,07	0,21	0,91	0,4
	EAE_PPN8	< 0,001	0,02	< 0,002	0,13	0,03	< 0,001	0,1	< 0,001	0,07	0,04
	EAE_PPN3	< 0,001	0,23	< 0,002	2,8	0,18	< 0,001	2,18	0,2	1,06	0,51
	EAE_PPN4	< 0,001	0,11	< 0,002	1,83	0,13	< 0,001	1,24	0,12	0,63	0,3
	EAE_PPN5	< 0,001	0,06	< 0,002	0,55	0,08	< 0,001	0,45	< 0,001	0,2	0,11
	EAE_PPN6	< 0,001	0,16	< 0,002	1,56	0,13	0,05	1,32	0,11	0,58	0,25
	EAE_N56	< 0,001	1,47	3,39	12,97	1,26	0,86	14,42	1,11	6,45	2,89
	EAE_N59	< 0,001	0,31	0,59	3,71	0,2	< 0,001	3,11	0,23	1,35	0,56
	EAE_N60	0,13	2,85	3,13	30,31	0,89	0,26	23,35	1,57	8,98	3,9
	EAE_N63	< 0,001	0,44	0,79	5,45	0,18	< 0,001	4,35	0,2	1,87	0,75
	EAE_N65	0,42	2,37	3,94	23,42	0,88	< 0,001	17,32	< 0,001	5,94	2,88
	EAE_N66	0,06	0,64	1,11	7,96	0,25	0,11	6,04	0,34	2,08	0,9
	EAE_N68	0,07	0,12	0,32	1,48	0,14	0,08	1,26	0,13	0,46	0,23
	EAE_N81	0,03	0,05	0,16	0,68	0,05	0,04	0,67	0,04	0,23	0,09
	EAE_N82	0,04	0,18	0,3	2,55	0,1	0,07	2,12	0,11	1,26	0,53
	EAE_N85	< 0,001	0,22	0,45	4,18	0,14	< 0,001	2,93	0,23	1,63	0,82
	EAE_N88	< 0,001	0,66	1,31	8,11	0,44	0,29	7,04	0,47	3,21	1,24

	Nome estação amostral	PCB 8	PCB 31	PCB 28	PCB 52	PCB 49	PCB 44	PCB 74	PCB 70	PCB 101	PCB 99
	EAE_S62	0,03	0,83	1,32	6,8	0,33	0,05	5,76	0,43	1,8	0,95
	EAE_N88	0,10	0,46	0,91	5,66	0,32	0,18	4,12	0,25	2,01	0,76
	EAE_N90	< 0,001	0,05	0,08	0,30	< 0,003	< 0,001	0,22	< 0,001	0,16	0,10
	EAE_N96	0,03	0,12	0,32	1,37	0,09	0,03	1,06	0,07	0,28	0,12
	EAE_N98	< 0,001	0,42	0,70	5,97	0,31	< 0,001	4,02	0,30	2,10	0,98
	EAE_N101	0,03	0,05	0,17	1,02	0,06	0,04	0,66	0,04	0,28	0,13
	EAE_N109	0,03	0,25	0,64	2,64	0,20	0,06	2,18	0,14	0,75	0,32
	EAE_N111	< 0,001	0,12	0,19	1,14	< 0,003	0,10	0,76	0,06	0,46	0,23
Região 2	EAE_N4	0,05	0,33	0,79	4,02	0,19	0,06	0,43	0,21	0,53	0,5
	EAE_N9	0,13	0,55	1,51	5,68	0,44	0,24	5,3	0,34	1,83	0,86
	EAE_N19	0,08	< 0,002	1,19	4,5	0,34	0,12	4,55	0,27	1,29	0,52
	EAE_S22	0,06	0,28	< 0,002	2,57	0,24	0,12	2,29	0,16	0,87	0,31
	EAE_S30	0,04	0,16	0,78	3	0,24	0,09	2,29	0,18	< 0,001	0,45
	EAE_S65	0,04	0,26	0,65	2,67	0,17	0,05	2,1	0,17	0,94	0,38
	EAE_S91	< 0,001	0,47	1,12	4,17	0,33	0,1	3,49	0,3	1,71	0,7
	EAE_S92	0,05	0,16	0,40	2,33	0,14	0,08	1,62	0,10	0,79	0,32
Região 3	EAE_S6	0,09	0,19	0,55	2,09	0,19	0,12	2	0,13	0,55	0,21
	EAE_S18	0,09	0,2	0,64	1,93	0,17	< 0,001	1,56	0,09	0,65	0,24
	EAE_S27	< 0,001	0,18	0,4	1,26	0,1	< 0,001	1,1	0,1	0,55	0,22
	EAE_S32	0,05	0,56	1,58	7,6	0,34	0,09	5,51	0,35	< 0,001	0,86
	EAE_S35	0,09	0,37	1,33	5,77	0,35	0,17	4,45	0,24	< 0,001	0,75
	EAE_S41	< 0,001	0,75	1,48	8,57	0,44	< 0,001	6,78	0,47	2,77	1,24
	EAE_S50	0,09	0,42	0,96	4,85	0,29	0,1	4,55	0,3	1,48	0,6
	EAE_S59	0,05	0,74	1,57	9,22	0,35	0,07	6,34	0,39	2,42	0,91
	EAE_S61	0,58	1,95	7,02	26,53	2,12	0,81	17,6	1,92	9,96	4,61
	EAE_S47	< 0,001	0,37	0,73	4,40	< 0,003	< 0,001	3,58	0,23	1,62	0,58

	Nome estação amostral	PCB 8	PCB 31	PCB 28	PCB 52	PCB 49	PCB 44	PCB 74	PCB 70	PCB 101	PCB 99
	EAE_S48	0,04	1,20	1,67	12,80	0,45	0,06	10,82	0,67	4,51	1,61
	EAE_S49	< 0,001	0,56	1,00	6,14	0,28	< 0,001	5,03	0,33	2,03	0,75
	EAE_S97	0,13	0,34	1,05	5,07	0,38	0,22	3,64	0,29	1,55	0,72
	EAE_S100	< 0,001	0,40	0,86	4,31	0,31	< 0,001	3,29	< 0,001	1,24	0,51
	EAE_S102	0,04	0,30	0,59	3,60	0,18	< 0,001	2,66	< 0,001	1,05	0,41
	EAE_S104	< 0,001	< 0,002	0,09	0,31	< 0,003	< 0,001	0,22	< 0,001	0,16	0,09
	EAE_S105	0,09	< 0,002	1,26	7,29	0,38	0,13	5,29	0,31	2,25	0,84
	EAE_S117	< 0,001	< 0,002	< 0,002	0,42	0,20	< 0,001	< 0,001	< 0,001	< 0,001	< 0,005
Região 4	EAE_S5	0,26	3,87	8,01	48,51	1,81	0,45	40,86	2,36	13,43	5,32
	EAE_S8	0,1	1,08	2,02	10,93	0,53	0,13	13,15	0,5	3,92	1,55
	EAE_S11	0,13	1,58	2,07	22,87	0,6	0,23	20,92	1,12	9,58	4,02
	EAE_S12	0,08	0,43	0,99	4,18	0,28	0,12	4,52	0,26	1,43	0,56
	EAE_S14	< 0,001	< 0,002	< 0,002	2,63	< 0,003	< 0,001	2,33	< 0,001	0,9	< 0,005
	EAE_S15	< 0,001	0,85	2,23	8,21	3,38	1,32	6,51	< 0,001	3,2	< 0,005
	EAE_S23	0,05	0,37	< 0,002	3,03	0,28	0,07	2,33	0,19	1,12	0,44
	EAE_S24	0,1	0,17	< 0,002	1,39	0,19	0,12	1,1	0,12	0,51	0,23
	EAE_S28	0,11	0,45	0,69	3,08	0,28	0,17	2,33	0,22	0,97	0,64
	EAE_S37	< 0,001	0,12	0,53	2,52	0,21	< 0,001	1,88	0,15	< 0,001	0,34
	ESE_S42	0,53	3,36	12,48	40,39	2,73	0,97	29,26	2,09	< 0,001	4,8
	EAE_S45	0,27	0,81	1,8	10,37	0,6	0,45	8,6	0,43	3,75	1,3
	EAE_S53	0,17	0,64	1,85	3,49	0,53	0,23	3,16	0,41	1,95	0,75
	EAE_S57	0,1	0,42	1,1	5,05	0,31	0,17	4,09	0,24	1,44	0,54
	EAE_S60	0,06	0,33	0,81	3,11	0,22	0,08	2,51	0,2	1,09	0,52
	EAE_S67	0,1	0,24	0,65	2,84	0,2	0,13	2,7	0,17	0,89	0,33
	EAE_S84	0,07	0,34	0,82	3,44	0,24	0,11	3,01	0,18	1,05	0,39
	EAE_S85	0,1	0,38	0,91	2,59	0,33	0,11	2,41	0,25	1,28	0,48

	Nome estação amostral	PCB 8	PCB 31	PCB 28	PCB 52	PCB 49	PCB 44	PCB 74	PCB 70	PCB 101	PCB 99
	EAE_S89	0,05	0,35	0,77	4,13	0,23	0,07	3,77	0,21	1,25	0,46
	EAE_S101	< 0,001	2,39	2,78	24,52	0,35	< 0,001	22,98	< 0,001	8,09	3,53
	EAE_S103	0,05	0,35	0,83	4,07	0,25	< 0,001	3,25	< 0,001	1,18	0,45
	EAE_S106	0,07	0,82	2,75	14,93	0,42	0,10	14,90	0,44	4,11	0,92
	EAE_S109	0,06	0,30	0,70	3,20	0,21	0,10	2,59	0,16	1,07	0,36
Região 5	EAE_S7	0,17	0,61	1,77	7,18	0,52	0,24	6,52	0,36	2,18	0,85
	EAE_S9	0,05	0,13	0,34	1,16	0,13	0,07	1,39	0,07	0,46	0,19
	EAE_S13	< 0,001	< 0,002	< 0,002	3,91	< 0,003	< 0,001	3,39	< 0,001	< 0,001	< 0,005
	EAE_S17	< 0,001	0,99	2,24	7,82	0,51	< 0,001	6,84	0,56	2,62	1
	EAE_S1	0,51	7,07	< 0,002	62,59	2,83	0,77	54,79	3,41	21,36	9,55
	EAE_S25	< 0,001	1	2,1	5,85	0,52	< 0,001	4,78	0,59	3,1	1,2
	EAE_S29	< 0,001	0	0,09	0,45	< 0,003	< 0,001	0,32	< 0,001	< 0,001	< 0,005
	EAE_S43	0,07	0,77	3,28	11,41	0,72	0,12	9,24	0,59	< 0,001	1,25
	EAE_S54	0,09	0,77	0,83	3,63	0,41	0,11	2,7	0,41	0,99	0,92
	EAE_S58	< 0,001	0,18	0,31	1,99	< 0,003	0,14	1,66	0,17	1,06	0,43
	EAE_S63	0,1	0,33	0,8	3,4	0,23	0,17	2,87	0,19	1,34	0,49
	EAE_S64	0,06	0,77	1,56	5,58	0,42	0,1	5,02	0,45	2,53	1
	EAE_S76	0,07	1,63	1,65	8,53	0,52	0,08	6,96	0,95	3,05	1,63
	EAE_S78	0,07	0,77	2,15	11,26	0,5	0,09	9,01	0,47	2,92	1,02
	EAE_S80	< 0,001	0,44	0,92	5,28	0,26	0,13	4,34	0,29	1,54	0,61
	EAE_S86	0,09	0,67	1,37	4,65	0,38	0,12	4,7	0,41	2,43	0,92
	EAE_S87	0,07	0,41	0,94	3,98	0,3	0,1	3,47	0,3	1,75	0,61
	EAE_S93	< 0,001	0,04	0,07	0,42	< 0,003	0,03	0,29	0,02	0,17	0,08
	EAE_S98	0,04	0,15	0,39	2,21	0,14	0,08	1,65	0,10	0,74	0,25
	EAE_S107	< 0,001	3,43	3,75	34,74	0,48	0,07	31,64	0,93	5,06	4,81
	EAE_S110	< 0,001	0,68	1,44	6,93	0,40	0,08	5,73	0,39	1,90	0,69

	Nome estação amostral	PCB 8	PCB 31	PCB 28	PCB 52	PCB 49	PCB 44	PCB 74	PCB 70	PCB 101	PCB 99
	EAE_S111	< 0,001	< 0,002	0,05	0,29	< 0,003	< 0,001	0,23	< 0,001	0,15	0,05
	EAE_S120	< 0,001	0,47	0,98	4,84	0,30	0,09	4,16	0,28	1,72	0,59
	Nome estação amostral	PCB 177	PCB 180	PCB 170	PCB 203	PCB 195	PCB 194	PCB 206	Σ PCB		
	<i>Steno bredanensis</i>										
	EAE_S19	7,27	25,33	14,99	7,81	2,79	7,83	1,37	235,84		
	EAE_S4	0,13	1,3	0,61	<0,013	< 0,003	< 0,002	< 0,004	7,11		
	<i>Pontoporia blainvillei</i>										
Região 1	EAE_N51	0,04	0,22	0,1	<0,013	0,02	0,05	< 0,004	1,53		
	EAE_N52	0,05	0,3	0,13	<0,013	0,03	0,06	< 0,004	2,18		
	EAE_N53	0,26	1,73	0,81	<0,013	0,09	0,28	0,04	12,27		
	EAE_N62	0,05	0,31	0,15	<0,013	< 0,003	0,05	< 0,004	2,5		
	EAE_N64	0,22	1,32	0,68	<0,013	0,09	0,25	0,05	11,69		
	EAE_N67	0,05	0,28	0,13	<0,013	0,03	0,06	< 0,004	2,33		
	EAE_N79	0,27	2,87	1,31	<0,013	0,17	0,48	< 0,004	16,91		
	EAE_N98	0,03	0,17	0,07	<0,013	< 0,003	0,06	< 0,004	1,22		
Região 2	EAE_S44	0,43	3,3	1,53	<0,013	< 0,003	0,91	< 0,004	22,99		
	<i>Sotalia guianensis</i>										
Região 1	EAE_N5	1,64	12,35	6,5	6,8	1,45	2,27	0,16	111,34		
	EAE_N13	3,7	16,14	9,34	< 0,013	< 0,003	< 0,002	< 0,004	142,37		
	EAE_N14	0,06	0,55	0,31	0,08	0,05	0,14	0,05	3,93		
	EAE_N16	0,22	1,01	0,56	0,14	0,06	0,21	0,04	8,28		
	EAE_N21	0,26	0,89	0,54	0,61	0,16	< 0,002	< 0,004	8,61		
	EAE_N22	0,2	0,61	0,39	0,21	< 0,003	0,24	0,15	6,24		
	EAE_N27	< 0,004	0,27	0,21	< 0,013	< 0,003	0,2	0,17	2,51		
	EAE_N28	0,12	2,07	1,12	0,3	0,12	0,45	0,06	14,16		
	EAE_N31	0,2	2,09	1,03	< 0,013	< 0,003	0,44	< 0,004	15,22		

	Nome estação amostral	PCB 8	PCB 31	PCB 28	PCB 52	PCB 49	PCB 44	PCB 74	PCB 70	PCB 101	PCB 99
	EAE_N33	< 0,004	1,08	0,6	< 0,013	< 0,003	< 0,002	< 0,004	7,8		
	EAE_N34	0,08	0,47	0,27	< 0,013	< 0,003	< 0,002	< 0,004	4,21		
	EAE_N36	0,36	2,6	1,3	< 0,013	< 0,003	< 0,002	< 0,004	18,3		
	EAE_N37	< 0,004	0,4	0,21	< 0,013	< 0,003	< 0,002	< 0,004	2,49		
	EAE_N39	< 0,004	0,07	0,04	< 0,013	< 0,003	< 0,002	< 0,004	0,28		
	EAE_N40	0,13	1,6	0,9	< 0,013	< 0,003	< 0,002	< 0,004	11,35		
	EAE_N41	3,52	32,81	16,47	< 0,013	0,82	5,73	0,25	220,21		
	EAE_N42	0,64	3,68	2,27	< 0,013	< 0,003	0,67	< 0,004	33,09		
	EAE_N48	0,07	0,64	0,35	< 0,013	< 0,003	< 0,002	< 0,004	4,38		
	EAE_N49	< 0,004	0,39	0,19	< 0,013	< 0,003	0,19	< 0,004	3,16		
	EAE_N50	< 0,004	0,15	0,08	< 0,013	< 0,003	< 0,002	< 0,004	0,78		
	EAE_PPN2	0,24	1,36	< 0,005	< 0,013	< 0,003	0,15	< 0,004	14,41		
	EAE_PPN8	< 0,004	0,11	< 0,005	0,06	< 0,003	0,07	< 0,004	0,68		
	EAE_PPN3	0,22	1,89	< 0,005	1,03	< 0,003	0,47	< 0,004	11,58		
	EAE_PPN4	0,12	0,96	< 0,005	0,56	< 0,003	0,27	< 0,004	6,64		
	EAE_PPN5	0,06	0,3	< 0,005	0,19	< 0,003	0,11	< 0,004	2,34		
	EAE_PPN6	0,14	0,88	0,47	< 0,013	< 0,003	0,18	< 0,004	6,55		
	EAE_N56	1,51	13,17	5,82	< 0,013	< 0,003	2,83	< 0,004	74,27		
	EAE_N59	0,24	2,3	1,23	< 0,013	0,14	0,46	< 0,004	15,57		
	EAE_N60	2,11	17,58	6,88	< 0,013	0,77	3,03	0,32	114,59		
	EAE_N63	0,32	2,86	1,34	< 0,013	0,13	0,59	0,06	21,22		
	EAE_N65	1,87	9,88	4,57	< 0,013	0,69	2,64	0,32	87,82		
	EAE_N66	0,45	3,56	1,57	< 0,013	0,17	0,68	0,08	28,98		
	EAE_N68	0,11	0,81	0,4	< 0,013	< 0,003	0,22	< 0,004	6,59		
	EAE_N81	0,06	0,32	0,15	< 0,013	0,03	0,06	< 0,004	3,11		
	EAE_N82	0,2	2,56	1,02	< 0,013	0,11	0,41	0,04	12,49		
	EAE_N85	0,26	3,7	1,42	< 0,013	0,26	1,02	0,15	18,37		

	Nome estação amostral	PCB 8	PCB 31	PCB 28	PCB 52	PCB 49	PCB 44	PCB 74	PCB 70	PCB 101	PCB 99
	EAE_N88	0,61	5,38	2,4	< 0,013	0,45	1,5	0,36	36,97		
	EAE_S62	0,45	2,85	1,37	< 0,013	0,17	0,57	0,06	27,73		
	EAE_N88	0,38	3,15	1,35	< 0,013	< 0,003	0,70	0,14	22,27		
	EAE_N90	< 0,004	0,31	0,14	< 0,013	< 0,003	0,16	< 0,004	1,66		
	EAE_N96	0,08	0,41	0,20	< 0,013	< 0,003	0,04	< 0,004	4,77		
	EAE_N98	0,42	3,79	1,62	< 0,013	< 0,003	0,75	< 0,004	22,55		
	EAE_N101	0,05	0,54	0,23	< 0,013	0,04	0,12	< 0,004	3,80		
	EAE_N109	0,14	1,28	0,59	< 0,013	0,07	0,21	0,03	10,91		
	EAE_N111	0,13	0,84	0,36	< 0,013	< 0,003	0,31	0,10	5,18		
Região 2	EAE_N4	0,35	0,27	0,99	0,19	0,11	0,39	0,06	11,04		
	EAE_N9	0,6	2,79	1,68	0,35	0,18	0,64	0,07	26,85		
	EAE_N19	0,47	1,94	1,25	0,25	0,1	0,31	0,04	20,85		
	EAE_S22	0,16	1,08	0,6	< 0,013	0,06	0,16	< 0,004	15,29		
	EAE_S30	0,15	1,54	0,79	< 0,013	< 0,003	0,27	< 0,004	11,42		
	EAE_S65	0,19	1,11	0,73	< 0,013	0,09	0,29	0,05	11,45		
	EAE_S91	0,35	2,87	1,31	< 0,013	0,18	0,53	0,11	20,4		
	EAE_S92	0,14	1,32	0,60	< 0,013	0,09	0,26	< 0,004	9,20		
Região 3	EAE_S6	0,17	0,79	0,48	0,1	0,05	0,13	0,02	9,4		
	EAE_S18	0,13	0,84	0,48	< 0,013	< 0,003	< 0,002	< 0,004	8,3		
	EAE_S27	0,12	0,83	0,46	< 0,013	< 0,003	0,13	< 0,004	6,36		
	EAE_S32	0,44	3,3	1,74	< 0,013	< 0,003	0,54	< 0,004	25,82		
	EAE_S35	0,31	3,04	1,68	< 0,013	< 0,003	0,48	< 0,004	21,41		
	EAE_S41	0,55	4,65	2,54	< 0,013	0,24	1,01	0,12	34,62		
	EAE_S50	0,3	2,39	1,12	< 0,013	0,17	0,45	0,12	20,63		
	EAE_S59	0,51	3,4	1,69	< 0,013	0,17	0,61	0,07	32,03		
	EAE_S61	1,76	12,92	8,69	< 0,013	1,34	3,91	0,76	118,17		

	Nome estação amostral	PCB 8	PCB 31	PCB 28	PCB 52	PCB 49	PCB 44	PCB 74	PCB 70	PCB 101	PCB 99
	EAE_S47	< 0,004	2,37	1,14	< 0,013	< 0,003	0,43	< 0,004	16,78		
	EAE_S48	0,73	6,59	3,22	< 0,013	0,19	0,84	0,04	48,87		
	EAE_S49	0,34	3,08	1,46	< 0,013	0,08	0,42	< 0,004	23,44		
	EAE_S97	0,30	2,92	1,29	< 0,013	0,25	0,67	0,16	21,03		
	EAE_S100	0,30	1,88	0,93	< 0,013	0,16	0,33	< 0,004	16,24		
	EAE_S102	0,22	1,67	0,72	< 0,013	0,09	0,29	0,05	13,00		
	EAE_S104	0,06	0,24	0,13	< 0,013	< 0,003	0,12	< 0,004	1,57		
	EAE_S105	0,40	3,38	1,52	< 0,013	0,20	0,66	0,10	26,68		
	EAE_S117	< 0,004	< 0,003	< 0,005	< 0,013	< 0,003	< 0,002	< 0,004	0,62		
Região 4	EAE_S5	3,45	1,73	11,14	2,55	0,77	3,06	0,23	164,5		
	EAE_S8	1,12	6,48	3,74	0,86	0,3	1,2	< 0,004	51,39		
	EAE_S11	2,21	18,04	9,26	1,85	0,56	2,67	0,12	100,48		
	EAE_S12	0,41	2,27	1,4	0,33	0,12	0,42	0,03	20,01		
	EAE_S14	< 0,004	1,33	0,84	< 0,013	< 0,003	< 0,002	< 0,004	8,19		
	EAE_S15	< 0,004	3,34	3,2	< 0,013	< 0,003	1,05	0,08	38,42		
	EAE_S23	0,22	1,28	0,85	< 0,013	0,08	0,28	0,05	18,24		
	EAE_S24	0,15	0,65	< 0,005	0,39	< 0,003	0,21	< 0,004	6,4		
	EAE_S28	0,31	1,41	0,67	< 0,013	0,1	0,39	< 0,004	14,22		
	EAE_S37	< 0,004	1,35	0,72	< 0,013	< 0,003	< 0,002	< 0,004	8,44		
	ESE_S42	2,39	16,62	8,36	< 0,013	< 0,003	2,91	< 0,004	149,93		
	EAE_S45	0,63	6,02	2,74	< 0,013	0,32	1,09	0,13	45,29		
	EAE_S53	0,41	1,62	1,32	< 0,013	0,2	0,55	0,12	22,74		
	EAE_S57	0,28	1,87	1,08	< 0,013	0,12	0,38	0,06	20,46		
	EAE_S60	0,27	2,31	1,03	< 0,013	0,13	0,48	0,06	15,33		
	EAE_S67	0,19	1,31	0,65	< 0,013	0,12	0,3	< 0,004	12,63		
	EAE_S84	0,21	1,34	0,79	< 0,013	0,08	0,25	0,04	14,79		

	Nome estação amostral	PCB 8	PCB 31	PCB 28	PCB 52	PCB 49	PCB 44	PCB 74	PCB 70	PCB 101	PCB 99
	EAE_S85	0,29	1,82	0,93	< 0,013	0,15	0,34	< 0,004	14,82		
	EAE_S89	0,24	1,87	0,91	< 0,013	0,11	0,33	0,07	16,86		
	EAE_S101	0,74	15,91	6,67	< 0,013	0,24	3,30	0,09	95,91		
	EAE_S103	0,22	1,75	0,84	< 0,013	0,08	0,28	0,04	15,28		
	EAE_S106	0,54	6,46	3,43	< 0,013	0,12	0,41	0,03	55,48		
	EAE_S109	0,18	1,48	0,74	< 0,013	0,06	0,20	0,02	13,03		
Região 5	EAE_S7	0,61	3,41	1,87	0,52	0,18	0,67	0,06	32,53		
	EAE_S9	0,16	0,71	0,48	0,12	0,07	0,23	0,07	6,82		
	EAE_S13	< 0,004	< 0,003	< 0,005	< 0,013	< 0,003	< 0,002	< 0,004	7,84		
	EAE_S17	0,6	3,6	2,16	< 0,013	< 0,003	< 0,002	< 0,004	34		
	EAE_S1	4,88	32,24	17,96	20,05	1,86	6,99	< 0,004	261,29		
	EAE_S25	0,6	4,33	2,29	< 0,013	< 0,003	< 0,002	< 0,004	31,76		
	EAE_S29	< 0,004	0,21	< 0,005	< 0,013	< 0,003	< 0,002	< 0,004	1,24		
	EAE_S43	0,53	4,94	2,65	< 0,013	0,18	0,66	< 0,004	42		
	EAE_S54	0,54	3,97	< 0,005	0,83	0,17	0,63	0,08	20,71		
	EAE_S58	0,2	1,8	< 0,005	0,82	0,25	0,83	0,29	10,65		
	EAE_S63	0,27	1,52	< 0,005	0,96	0,13	0,4	0,07	15,35		
	EAE_S64	0,5	2,44	< 0,005	1,23	0,2	0,71	0,08	25,78		
	EAE_S76	1,15	4,68	< 0,005	2,5	0,36	1,89	0,15	40,43		
	EAE_S78	0,53	4,27	< 0,005	2,07	0,17	0,66	0,07	40,83		
	EAE_S80	0,32	2,48	< 0,005	1,18	0,19	0,47	< 0,004	20,38		
	EAE_S86	0,49	3,6	< 0,005	1,71	0,21	0,61	< 0,004	25,5		
	EAE_S87	0,33	2,49	< 0,005	1,25	0,17	0,46	< 0,004	18,49		
	EAE_S93	0,03	0,30	0,13	< 0,013	0,04	0,12	0,04	1,94		
	EAE_S98	0,13	1,01	0,51	< 0,013	0,06	0,18	0,03	8,52		
	EAE_S107	0,97	21,16	9,12	< 0,013	0,33	4,53	0,12	127,51		

	Nome estação amostral	PCB 8	PCB 31	PCB 28	PCB 52	PCB 49	PCB 44	PCB 74	PCB 70	PCB 101	PCB 99
	EAE_S110	0,38	2,71	1,34	< 0,013	< 0,003	0,27	< 0,004	25,76		
	EAE_S111	< 0,004	0,24	0,10	< 0,013	< 0,003	0,12	< 0,004	1,35		
	EAE_S120	0,31	2,38	1,27	< 0,013	< 0,003	0,34	< 0,004	19,64		

Tabela 4: Concentrações dos pesticidas cada indivíduo coletado no estado do Espírito Santo durante o Ano 1, Ano 2 e Ano 3 do PMBA/Fest-RRDM, expressas em $\mu\text{g.g}^{-1}$ lip.

	Nome estação amostral	a-HCH	HCB	g-HCH	PP-DDE	pp-DDD	pp-DDT	Mirex	Σ HCH	Σ DDT
	Steno bredanensis									
	EAE_S19	< 0,002	0,20	< 0,002	33,80	24,60	1,00	10,10	< 0,002	59,30
	EAE_S4	< 0,002	< 0,002	< 0,002	0,90	0,20	< 0,001	0,70	< 0,002	1,00
	Pontoporia blainvillei									
Região 1	EAE_N51	< 0,002	0,02	< 0,002	0,96	0,16	0,12	0,17	< 0,002	1,24
	EAE_N52	< 0,002	0,02	< 0,002	2,33	0,22	0,16	0,21	< 0,002	2,71
	EAE_N53	< 0,002	0,04	< 0,002	10,02	0,62	0,64	0,99	< 0,002	11,28
	EAE_N62	< 0,002	0,04	< 0,002	2,22	0,34	0,36	0,18	< 0,002	2,92
	EAE_N64	< 0,002	0,06	< 0,002	5,44	0,30	0,69	1,06	< 0,002	6,43
	EAE_N67	< 0,002	0,02	< 0,002	1,03	0,11	0,20	0,19	< 0,002	1,34
	EAE_N79	< 0,002	0,05	< 0,002	4,07	0,66	0,84	2,13	< 0,002	5,57
	EAE_N95	< 0,002	0,01	< 0,002	0,60	0,10	< 0,001	0,22	< 0,002	0,69
Região 2	EAE_S44	< 0,002	0,15	< 0,002	9,63	1,26	1,80	4,44	< 0,002	12,69
	Sotalia guianensis									
Região 1	EAE_N5	< 0,002	0,20	< 0,002	12,73	0,76	0,93	2,86	< 0,002	14,42

	Nome estação amostral	a-HCH	HCb	g-HCH	PP-DDE	pp-DDD	pp-DDT	Mirex	Σ HCH	Σ DDT
	EAE_N13	< 0,002	0,65	< 0,002	104,15	29,23	7,19	10,70	< 0,002	140,57
	EAE_N14	< 0,002	0,04	< 0,002	1,04	0,12	0,13	0,30	< 0,002	1,29
	EAE_N16	< 0,002	0,06	< 0,002	2,73	0,38	0,75	0,56	< 0,002	3,87
	EAE_N21	< 0,002	0,14	< 0,002	3,20	0,98	0,39	0,96	< 0,002	4,56
	EAE_N22	< 0,002	0,09	< 0,002	2,26	0,60	0,41	0,60	< 0,002	3,27
	EAE_N27	< 0,002	0,09	< 0,002	0,36	0,16	< 0,001	0,36	< 0,002	0,52
	EAE_N28	< 0,002	0,06	< 0,002	15,72	3,45	2,60	3,91	< 0,002	21,77
	EAE_N31	< 0,002	< 0,002	< 0,002	6,34	0,27	0,06	1,67	< 0,002	6,67
	EAE_N33	< 0,002	< 0,002	< 0,002	2,80	< 0,002	< 0,001	0,52	< 0,002	2,80
	EAE_N34	< 0,002	< 0,002	< 0,002	4,57	0,92	0,40	0,27	< 0,002	5,89
	EAE_N36	< 0,002	< 0,002	< 0,002	2,92	0,40	0,23	1,05	< 0,002	3,55
	EAE_N37	< 0,002	< 0,002	< 0,002	0,82	0,08	< 0,001	0,26	< 0,002	0,90
	EAE_N39	< 0,002	< 0,002	< 0,002	0,08	0,00	< 0,001	0,13	< 0,002	0,08
	EAE_N40	< 0,002	< 0,002	< 0,002	3,58	0,15	0,09	0,80	< 0,002	3,82
	EAE_N41	< 0,002	< 0,002	< 0,002	230,27	5,76	< 0,001	14,70	< 0,002	236,03
	EAE_N42	< 0,002	< 0,002	< 0,002	10,30	0,84	0,90	1,67	< 0,002	12,04
	EAE_N48	< 0,002	0,02	< 0,002	0,92	0,19	0,24	0,32	< 0,002	1,35
	EAE_N49	< 0,002	< 0,002	< 0,002	0,91	0,24	0,21	1,10	< 0,002	1,37
	EAE_N50	< 0,002	0,03	< 0,002	0,15	0,17	< 0,001	0,11	< 0,002	0,32
	EAE_PPN2	< 0,002	0,05	< 0,002	13,65	1,73	1,25	0,81	< 0,002	16,63
	EAE_PPN8	< 0,002	< 0,002	< 0,002	0,23	0,04	0,07	0,46	< 0,002	0,35
	EAE_PPN3	< 0,002	< 0,002	< 0,002	5,13	0,28	< 0,001	1,34	< 0,002	5,41
	EAE_PPN4	< 0,002	0,01	< 0,002	2,99	0,18	< 0,001	0,97	< 0,002	3,17
	EAE_PPN5	< 0,002	< 0,002	< 0,002	0,71	0,08	< 0,001	0,23	< 0,002	0,80
	EAE_PPN6	< 0,003	0,02	< 0,002	3,10	0,96	< 0,001	0,98	< 0,002	4,06
	EAE_N56	< 0,002	0,20	< 0,002	16,11	3,02	< 0,001	4,90	< 0,002	19,13
	EAE_N59	< 0,002	0,01	< 0,002	6,73	0,33	0,32	1,82	< 0,002	7,38

	Nome estação amostral	a-HCH	HCb	g-HCH	PP-DDE	pp-DDD	pp-DDT	Mirex	Σ HCH	Σ DDT
	EAE_N60	< 0,002	0,03	< 0,002	32,15	1,74	1,20	5,75	< 0,002	35,09
	EAE_N63	< 0,002	0,02	< 0,002	7,32	0,70	0,47	1,75	< 0,002	8,50
	EAE_N65	< 0,002	0,10	< 0,002	8,48	1,77	0,68	1,44	< 0,002	10,93
	EAE_N66	< 0,002	0,03	< 0,002	5,61	0,71	0,62	1,26	< 0,002	6,94
	EAE_N68	< 0,002	0,03	< 0,002	2,74	0,35	0,37	0,73	< 0,002	3,46
	EAE_N81	0,01	0,01	0,01	0,11	0,03	0,03	0,03	0,03	0,17
	EAE_N82	< 0,002	0,07	< 0,002	3,16	0,59	0,55	1,01	< 0,002	4,30
	EAE_N85	< 0,002	< 0,002	< 0,002	4,98	1,52	< 0,001	2,93	< 0,002	6,50
	EAE_N88	< 0,002	0,12	< 0,002	7,51	1,14	1,43	4,27	< 0,002	10,07
	EAE_S62	< 0,002	0,03	< 0,002	7,36	0,87	0,61	1,63	< 0,002	8,84
	EAE_N88	< 0,002	0,11	< 0,002	7,08	0,94	0,84	2,50	< 0,002	8,86
	EAE_N90	< 0,002	< 0,002	< 0,002	0,59	0,19	< 0,001	0,40	< 0,002	0,78
	EAE_N98	< 0,002	0,08	< 0,002	5,59	0,38	< 0,001	1,74	< 0,002	5,97
	EAE_N101	< 0,002	0,04	< 0,002	0,78	0,12	0,14	0,31	< 0,002	1,04
	EAE_N109	< 0,002	0,03	< 0,002	14,53	3,23	1,79	1,00	< 0,002	19,55
	EAE_N111	< 0,002	< 0,002	< 0,002	0,89	0,23	< 0,001	0,49	< 0,002	1,12
Região 2	EAE_N4	< 0,002	0,03	< 0,002	2,20	0,22	0,36	0,66	< 0,002	2,78
	EAE_N9	< 0,002	0,04	< 0,002	1,47	0,40	0,47	0,57	< 0,002	2,34
	EAE_N19	0,08	0,07	< 0,002	5,87	0,74	0,72	0,87	0,08	7,34
	EAE_S22	0,02	< 0,001	< 0,002	3,96	0,24	< 0,001	0,58	0,02	4,20
	EAE_S30	< 0,002	0,08	< 0,002	5,32	0,85	0,69	1,88	< 0,002	6,87
	EAE_S65	< 0,002	0,04	< 0,002	2,17	0,25	0,29	0,73	< 0,002	2,71
	EAE_S91	< 0,002	0,07	< 0,002	3,04	1,25	< 0,001	1,21	< 0,002	4,29
	EAE_S92	< 0,002	0,07	< 0,002	1,70	0,24	0,20	0,67	< 0,002	2,14
Região 3	EAE_S6	< 0,002	0,09	< 0,002	1,49	0,18	0,32	0,18	< 0,002	0,50
	EAE_S18	< 0,002	< 0,002	< 0,002	1,51	0,16	0,24	0,32	< 0,002	0,56

	Nome estação amostral	a-HCH	HCb	g-HCH	PP-DDE	pp-DDD	pp-DDT	Mirex	Σ HCH	Σ DDT
	EAE_S27	< 0,002	0,03	< 0,002	1,46	0,24	0,30	0,50	< 0,002	0,80
	EAE_S32	< 0,002	0,05	< 0,002	4,66	0,54	0,96	1,56	< 0,002	6,17
	EAE_S35	< 0,002	0,11	< 0,002	4,86	0,67	1,14	1,72	< 0,002	6,67
	EAE_S41	< 0,002	0,02	< 0,002	9,13	1,10	< 0,001	2,14	< 0,002	10,23
	EAE_S50	< 0,002	0,04	< 0,002	3,64	0,66	0,17	1,11	< 0,002	4,46
	EAE_S59	< 0,002	0,06	< 0,002	5,28	0,38	0,59	1,07	< 0,002	6,25
	EAE_S61	< 0,002	0,40	< 0,002	26,02	4,92	4,69	19,96	< 0,002	35,63
	EAE_S47	< 0,002	0,07	< 0,002	5,63	0,37	< 0,001	1,02	< 0,002	6,00
	EAE_S48	< 0,002	0,05	< 0,002	13,07	0,43	0,39	1,95	< 0,002	13,88
	EAE_S49	< 0,002	0,04	< 0,002	8,32	0,33	0,32	0,94	< 0,002	8,97
	EAE_S97	< 0,002	0,10	< 0,002	6,85	0,97	1,79	5,44	< 0,002	9,61
	EAE_S99	< 0,002	0,11	< 0,002	3,37	0,49	0,56	0,51	< 0,002	4,42
	EAE_S100	< 0,002	0,07	< 0,002	3,35	0,54	< 0,001	0,69	< 0,002	3,89
	EAE_S102	< 0,002	0,04	< 0,002	2,81	0,21	0,13	0,70	< 0,002	3,15
	EAE_S104	< 0,002	0,02	< 0,002	0,20	< 0,002	< 0,001	0,20	< 0,002	0,20
	EAE_S105	< 0,002	0,12	< 0,002	6,15	1,05	< 0,001	1,61	< 0,002	7,20
	EAE_S117	< 0,002	0,04	< 0,002	0,37	< 0,002	< 0,001	0,34	< 0,002	0,37
Região 4	EAE_S5	0,12	0,19	< 0,002	27,64	1,71	3,52	4,83	0,12	32,87
	EAE_S8	< 0,002	0,08	< 0,002	12,72	1,31	0,42	2,23	< 0,002	14,44
	EAE_S11	< 0,002	0,13	< 0,002	34,65	2,85	0,12	7,86	< 0,002	37,63
	EAE_S12	< 0,002	0,07	< 0,002	4,00	0,62	1,01	1,23	< 0,002	5,63
	EAE_S14	< 0,002	< 0,002	< 0,002	1,86	0,25	0,31	0,29	< 0,002	2,42
	EAE_S15	< 0,002	< 0,002	< 0,002	8,73	0,70	1,22	1,83	< 0,002	10,65
	EAE_S23	< 0,002	0,09	< 0,002	4,80	0,88	0,57	1,37	< 0,002	6,26
	EAE_S24	< 0,002	0,05	< 0,002	1,81	0,23	0,45	0,44	< 0,002	2,49
	EAE_S28	< 0,002	0,16	< 0,002	2,45	0,43	0,69	0,61	< 0,002	3,57

	Nome estação amostral	a-HCH	HCb	g-HCH	PP-DDE	pp-DDD	pp-DDT	Mirex	Σ HCH	Σ DDT
	EAE_S37	< 0,002	< 0,002	< 0,002	4,20	0,70	0,50	1,83	< 0,002	5,40
	ESE_S42	< 0,002	0,14	< 0,002	30,12	7,09	0,00	6,55	< 0,002	37,21
	EAE_S45	< 0,002	0,30	< 0,002	8,76	1,20	1,21	1,96	< 0,002	11,16
	EAE_S53	< 0,002	0,07	< 0,002	3,47	1,04	0,43	0,80	< 0,002	4,94
	EAE_S57	< 0,002	0,16	< 0,002	3,35	0,41	0,65	0,67	< 0,002	4,42
	EAE_S60	< 0,002	0,06	< 0,002	2,42	0,25	0,35	0,83	< 0,002	3,01
	EAE_S67	< 0,002	0,06	< 0,002	1,84	0,37	0,22	0,45	< 0,002	2,43
	EAE_S84	< 0,002	0,07	< 0,002	3,04	0,49	0,65	0,45	< 0,002	4,17
	EAE_S85	< 0,002	0,10	< 0,002	3,19	0,58	0,69	0,60	< 0,002	4,47
	EAE_S89	< 0,002	0,06	< 0,002	2,16	0,39	0,67	0,58	< 0,002	3,22
	EAE_S101	< 0,002	0,04	< 0,002	15,49	0,35	0,19	2,34	< 0,002	16,03
	EAE_S103	< 0,002	0,04	< 0,002	3,57	0,44	0,34	0,68	< 0,002	4,35
	EAE_S106	< 0,002	0,09	< 0,002	7,65	0,57	0,80	0,95	< 0,002	9,01
	EAE_S109	< 0,002	0,06	< 0,002	2,18	0,26	0,21	0,31	< 0,002	2,65
Região 5	EAE_S7	< 0,002	0,10	< 0,002	5,05	0,57	0,80	0,81	< 0,002	6,42
	EAE_S9	< 0,002	0,05	< 0,002	1,30	0,45	0,39	0,40	< 0,002	2,14
	EAE_S13	< 0,002	< 0,002	< 0,002	5,96	0,55	0,60	0,46	< 0,002	7,11
	EAE_S17	< 0,002	< 0,002	< 0,002	3,19	0,34	0,50	0,67	< 0,002	4,03
	EAE_S1	< 0,002	0,14	< 0,002	49,60	4,04	0,91	13,62	< 0,002	54,55
	EAE_S25	< 0,002	0,08	< 0,002	5,53	0,55	0,80	1,40	< 0,002	6,88
	EAE_S29	< 0,002	< 0,002	< 0,002	0,55	0,21	< 0,001	0,49	< 0,002	0,76
	EAE_S43	< 0,002	0,04	< 0,002	13,78	1,34	0,60	3,12	< 0,002	15,73
	EAE_S54	< 0,002	0,06	< 0,002	2,29	0,38	0,51	1,09	< 0,002	3,18
	EAE_S58	< 0,002	0,03	< 0,002	0,87	0,31	0,00	1,18	< 0,002	1,18
	EAE_S63	< 0,002	0,13	< 0,002	2,19	0,30	0,46	0,69	< 0,002	2,95
	EAE_S64	< 0,002	0,04	< 0,002	3,47	0,63	0,44	0,73	< 0,002	4,55

	Nome estação amostral	a-HCH	HCb	g-HCH	PP-DDE	pp-DDD	pp-DDT	Mirex	Σ HCH	Σ DDT
	EAE_S76	< 0,002	0,04	< 0,002	7,55	0,44	0,46	2,08	< 0,002	8,45
	EAE_S78	< 0,002	0,04	< 0,002	7,37	0,47	0,42	1,28	< 0,002	8,26
	EAE_S80	< 0,002	0,06	< 0,002	2,89	0,55	0,00	0,57	< 0,002	3,44
	EAE_S86	< 0,002	0,05	< 0,002	3,06	1,06	0,22	1,00	< 0,002	4,35
	EAE_S87	< 0,002	0,07	< 0,002	2,93	1,04	0,25	0,98	< 0,002	4,21
	EAE_S93	< 0,002	0,01	< 0,002	0,22	< 0,002	< 0,001	0,14	< 0,002	0,22
	EAE_S98	< 0,002	0,06	< 0,002	1,59	0,24	0,24	0,42	< 0,002	2,07
	EAE_S107	< 0,002	0,04	< 0,002	22,91	0,49	0,51	3,12	< 0,002	23,90
	EAE_S110	< 0,002	0,09	< 0,002	5,35	0,55	0,27	0,58	< 0,002	6,16
	EAE_S111	< 0,002	0,02	< 0,002	0,23	< 0,002	< 0,001	0,22	< 0,002	0,23
	EAE_S120	< 0,002	0,07	< 0,002	3,20	0,34	0,50	0,54	< 0,002	4,03

Tabela 5: Concentrações médias \pm desvio padrão (Min-Max) de compostos organoclorados, expressas em $\mu\text{g.g}^{-1}$ lip. em tecido adiposo subcutâneo de golfinhos-de-dentes-rugosos e botos-cinza da costa do Brasil.

Autor	CT (cm)	N	Local	ΣPCB	ΣDDT	ΣHCH	HCb	Mirex
<i>Sotalia guianensis</i>								
Presente estudo	122-192	43	Região 1, ES	29,60 \pm 44,28 (0,28 - 220,21)	15,25 \pm 40,66 (0,08 - 236,03)	-	0,07 \pm 0,12 (<0,001 - 0,65)	1,87 \pm 2,79 (0,03 - 14,70)
	122-196	7	Região 2, ES	19,01 \pm 6,68 (11,04 - 27,18)	3,68 \pm 1,82 (2,14 - 7,34)	0,06 \pm 0,06 (<0,001 - 0,08)	0,05 \pm 0,02 (<0,001 - 0,08)	0,76 \pm 0,22 (0,57 - 1,88)
	130-192	17	Região 3, ES	38,34 \pm 34,14 (0,99 - 118,17)	6,56 \pm 8,41 (0,20 - 35,63)	-	0,08 \pm 0,09 (<0,001 - 0,4)	2,22 \pm 4,74 (0,06 - 19,96)
	110-200	21	Região 4, ES	48,58 \pm 62,78 (6,40 - 258,69)	10,34 \pm 11,85 (2,42 - 37,63)	- (<0,001 - 0,12)	0,10 \pm 0,07 (<0,001 - 0,30)	1,49 \pm 1,80 (0,29 - 7,86)

Autor	CT (cm)	N	Local	Σ PCB	Σ DDT	Σ HCH	HCB	Mirex
	159-196	23	Região 5, ES	44,69 ± 69,64 (1, 24 - 261,29)	7,31 ± 11,38 (0,22 - 54,55)	-	0,06 ± 0,03 (<0,001 – 0,14)	1,45 ± 2,73 (0,4 – 13,62)
Yogui et al. (2003)	163-197	9	Cananeia, SP	4,61±3,31 (0,2-9,22)	35,9±46,8 (0,541-125)	0,016±0,017 (<0,003-0,044)	0,015±0,009	0,151±0,085 (0,014-0,321)
Alonso et al. (2010)	163-186	3	Ubatuba, SP	47,78 (25,87-66,03)	34,03 (16,91-48,08)	0,07 (0,06-0,07)	0,11 (0,08-0,14)	1,26 (0,57-1,87)
Alonso et al. (2010)	122-173	3	Baixada Santista, SP	39,69 (27,86-61,34)	36,98 (24,57-55,91)	0,09 (0,03-0,21)	0,12 (0,07-0,17)	0,76 (0,24-1,04)
Yogui et al. (2010)	196	1	São Paulo	1,97	5,87	0,011	0,067	0,046
Kajiwarra et al. (2004)	89-198	26	Paraná e São Paulo	(1,3-79)	(1-150)	(<0,001-0,061)	(0,0016-0,40)	N/A
Manhães et al. (2018)	136-195	15	Baía de Guanabara, RJ	70,5 (18-303)	6 (2-17)	0,052 (0,0004-1)	0,002 (<0,3-0,01)	0,3 (0,008-8)
Lailson Brito et al. (2010)	122-191	12	Baía de Guanabara, RJ	34,8±26,3 (6,7-99,2)	7,9±6,9 (2,1-21,5)	-	0,046±0,037 (<0,004-0,109)	-
Lailson Brito et al. (2010)	147-198	15	Baía de Paranaguá, PR	4,6±4 (0,76-14,3)	5,7±5,8 (0,98-23,5)	-	0,041±0,040 (<0,004-0,156)	-
Lailson Brito et al. (2010)	150-195	5	Baía de Sepetiba, RJ	12,3±11,7 (1,7-25,5)	3,9±3,9 (0,65-9,99)	-	0,029±0,028 (0,013-0,078)	-
Emin-Lima (2012)	158,7 (média)	36	Amazonas	-	0,201 (0,014-0,438)	-	-	
Santos-Neto et al. (2014)	153-190	4	Região norte do Ceará	2,23±1,17 (0,02-3,85)	0,33±0,26 (0,006-0,63)	-	0,02±0,02 (0,003-0,04)	0,08±0,04 (0,02-0,12)

Autor	CT (cm)	N	Local	Σ PCB	Σ DDT	Σ HCH	HCB	Mirex
Santos-Neto et al. (2014)	117-188	8	Região Metropolitana do Ceará	7,35±6,27 (0,04-17,3)	1,11±0,66 (0,06-1,91)	0,04±0,01 (0,04-0,05)	0,007±0,004 (0,002-0,01)	0,09±0,03 (0,04-0,15)
Santos-Neto et al. (2014)	89-204	13	Região Sul do Ceará	1,12±1,32 (0,03-0,82)	0,30±0,28 (0,003-0,82)	0,03±0,03 (0,005-0,08)	0,07±0,05 (0,02-0,16)	0,07±0,05 (0,02-0,16)